

**UNIVERZITA KOMENSKÉHO V BRATISLAVE  
FAKULTA MATEMATIKY, FYZIKY A INFORMATIKY**

Evidenčné číslo: dfbb9e25-1713-4d16-af87-c23ee246dab0

**Pravdepodobnostná robotika v lokalizácii, mapovaní a plánovaní**

**UNIVERZITA KOMENSKÉHO V BRATISLAVE  
FAKULTA MATEMATIKY, FYZIKY A INFORMATIKY**

**Pravdepodobnostná robotika v lokalizácii, mapovaní a plánovaní**

**Diplomová práca**

Študijný program : aplikovaná informatika  
Študijný odbor: 9.2.9. aplikovaná informatika  
Školiace pracovisko: Katedra aplikovanej informatiky  
Školiteľ: Mgr. Pavel, Petrovič PhD.

**Bratislava 2011**

**Bc. Lukáš Riško**



Univerzita Komenského v Bratislave  
Fakulta matematiky, fyziky a informatiky

---

## ZADANIE ZÁVEREČNEJ PRÁCE

**Meno a priezvisko študenta:** Bc. Lukáš Riško  
**Študijný program:** aplikovaná informatika (Jednoodborové štúdium, magisterský II. st., denná forma)  
**Študijný odbor:** 9.2.9. aplikovaná informatika  
**Typ záverečnej práce:** diplomová  
**Jazyk záverečnej práce:** slovenský

**Názov:** Pravdepodobnostná robotika v lokalizácii, mapovaní a plánovaní

**Cieľ:** Preštudovať spôsoby lokalizácie, mapovania a navigácie pomocou pravdepodobnostnej robotiky. Implementovať zvolenú metódu, analyzovať, alebo porovnať s inou metódou, navrhnúť vlastné zlepšenie.

**Vedúci:** Mgr. Pavel Petrovič, PhD.

**Dátum zadania:** 11.11.2009

**Dátum schválenia:** 03.05.2011

prof. RNDr. Ivan Kalaš, CSc.  
garant študijného programu

študent

vedúci

Týmto prehlasujem, že som diplomovú prácu vypracoval samostatne, a všetku použitú literatúru uvádzam v zozname.

Bratislava, Máj 2011

Lukáš Riško

Ďakujem svojmu školiteľovi Mgr. Pavlovi Petrovičovi PhD. za jeho pomoc pri písaní tejto práce.

## **ABSTRAKT**

Riško, Lukáš: Pravdepodobnostná robotika v lokalizácii, mapovaní a plánovaní [Diplomová práca]. Univerzita Komenského v Bratislave. Fakulta matematiky, fyziky a informatiky. Katedra aplikovanej informatiky.

Vedúci diplomovej práce: Mgr. Pavel Petrovič PhD.

Bratislava. Fakulta matematiky, fyziky a informatiky UK. 2011. 55 strán.

Cieľom tejto práce je popísať pravdepodobnostné riešenia robotických problémov ako sú lokalizácia a mapovanie prostredia robotom vybaveným odometriou a ultrazvukovými senzormi. Tieto senzory sa vyznačujú vlastnosťami, ktoré robia lokalizáciu a mapovanie netrivialnými úlohami. Zameráme sa na implementácie algoritmu Particle filter, pri ktorom distribúciu belief reprezentuje množina váhovaných vzoriek. Pre naše experimenty bol použitý reálny mobilný robot.

## ABSTRACT

Riško, Lukáš: Pravdepodobnostná robotika v lokalizácii, mapovaní a plánovaní [Diplomová práca]. Univerzita Komenského v Bratislave. Fakulta matematiky, fyziky a informatiky. Katedra aplikovanej informatiky.  
Vedúci diplomovej práce: Mgr. Pavel Petrovič PhD.  
Bratislava. Fakulta matematiky, fyziky a informatiky UK. 2011. 55 pages.

The aim of this work is to describe probabilistic approaches for localization of mobile robot and approaches for building a map of an environment with robot, using a combination of odometry and sonar range sensors. These sensors have a number of properties that make localization and map building a non-trivial process. We focus on implementation of Particle filter algorithm, where the set of particles approximates the belief distribution. For our experiments, we have been using real mobile robot.

# Obsah

<b>1</b>	<b>Úvod</b>	<b>3</b>
<b>2</b>	<b>Pravdepodobnostná robotika</b>	<b>5</b>
2.1	Základné pojmy a pravidlá	5
2.1.1	Mapy	5
2.1.2	Veličiny a ich náhodné premenné	6
2.1.3	Belief	7
2.1.3.1	Váňovaná množina vzoriek	8
2.2	Bayesov filter	9
2.2.1	Kalmanov filter	9
2.2.2	Particle filter	10
2.2.2.1	Importance resampling	11
2.3	Model pohybu	12
2.3.1	Sample motion model	13
2.4	Model snímania	14
2.4.1	Beam measurement model	15
2.5	Lokalizácia	16
2.5.1	Monte Carlo Localization	18
2.6	Simultánna lokalizácia a mapovanie	19
2.6.1	FastSLAM	20
2.6.2	Generovanie gridmapy zo sonárnych dát	21
2.6.2.1	Inverzný model snímania	22
2.6.3	Odometry-Sonar-ResGrid FastSLAM	28
<b>3</b>	<b>Experimenty</b>	<b>31</b>
3.1	Platforma a prostredie	31
3.2	Pohyb	33



3.3	Snímanie . . . . .	35
3.4	Resamplovanie . . . . .	39
3.5	Monte Carlo Localization . . . . .	41
3.6	FastSLAM . . . . .	45
3.7	Popis komponentov aplikácie . . . . .	47
<b>4</b>	<b>Záver</b>	<b>49</b>

# Kapitola 1

## Úvod

Loklizácia a tvorba mapy prostredia sú dve z hlavných požiadaviek na autonómne roboty. Pre správne vykonávanie akcií, na ktoré je robot nasadený, musí často vedieť, kde v prostredí sa nachádza a ako dané prostredie vyzerá. V práci sa budeme venovať pravdepodobnostným metódam používaným v robotike. Ukážeme, že ak je robot vybavený senzormi na meranie vzdialenosti a odometriou, je možné algoritmicky dostatočne presne určiť jeho polohu vzhľadom na mapu prostredia, ktorá je apriórne daná. Po tomto probléme prejdeme na jeho zovšeobecnenie, ktorým je simultánna lokalizácia a mapovanie prostredia (SLAM). Ten ostával od svojho vzniku v roku 1986 dlho nevyriešeným. V súčasnosti existuje množstvo rôznych metód pre jeho riešenie. Väčšina z nich je však špecifická pre konkrétnu robotickú platformu a prostredie. Vysporiadať sa s niektorým z dvoch spomínaných problémov, znamená predovšetkým vysporiadať sa s podproblémami v nich obsiahnutými. Ide hlavne o pravdepodobnostné modelovanie pohybu a snímania systému, reprezentáciu a generovanie mapy prostredia.

Práca začína popisom základného pojmového aparátu používaného v pravdepodobnostnej robotike. Po zadeinovaní pojmov nevyhnutných pre pochopenie náročnejších kapitol, uvedieme schému Bayesovho filtra ako základného algoritmu pre rekurzívny odhad neznámej pravdepodobnostnej distribúcie z prichádzajúcich dát. Zameráme sa na jednu z jeho možných implementácií, ktorou je Particle filter. Ten je jadrom lokalizačného algoritmu Monte Carlo, ktorý podrobne popíšeme. Pre riešenie problému SLAMu sa zameriame na skupinu algoritmov využívajúcich Rao-Blackwellized Particle filter. Reprezentantom prostredia budú pre nás celú dobu gridmapy. Spomenieme ich zovšeobecnenie (res-

ponse gridmapy), ktoré sa omnoho lepšie hodí na mapovanie prostredia ultrazvukovými senzormi a odvodíme si techniku pre ich aktualizáciu zakomponovaním prijatých sensorových dát. Druhá časť práce popisuje naše implementácie algoritmov do Javy a experimenty prevedené na reálnom mobilnom robotovi vybavenom ultrazvukovými senzormi. Podrobne popíšeme ako bol modelovaný jeho pohyb a snímanie.

V závere sa vyjadríme k dosiahnutým výsledkom a spomenieme možné námety na vylepšenie vytvorených aplikácií.

## Kapitola 2

# Pravdepodobnostná robotika

### 2.1 Základné pojmy a pravidlá

#### 2.1.1 Mapy

Aby bolo možné popísať procesy v prostredí ako je pohyb či snímanie, je potrebné najprv popísať prostredie samotné. Reprezentantom prostredia bude *mapa*, čo je zoznam objektov prostredia spolu s ich vlastnosťami, resp. zoznam možných pozícií v prostredí spolu s ich vlastnosťami [20]. Formálne:

$$m = (m_1, m_2, \dots, m_M) \quad (2.1)$$

Indexovanie prvkov toho zoznamu je možné chápať dvoma spôsobmi, ktoré zároveň separujú mapy do dvoch základných skupín:

- *feature-based maps*

Každý prvok  $m_i$  zoznamu  $m$  reprezentuje jeden objekt prostredia, pričom  $i$  je jeho identifikátor,  $m$  popisuje jeho vlastnosť - pozíciu. Mapa je teda zoznam pozícií kľúčových objektov prostredia nazývaných *landmarky*. Aby bolo možné ich identifikovať a navzájom rozlíšiť sú potrebné apriórne znalosti o prostredí, čo je nevýhodou tejto reprezentácie. [18]

- *location-based maps*

Každý prvok  $m_i$  zoznamu  $m$  reprezentuje jednu pozíciu v prostredí, pričom  $i$  je jej identifikátorom,  $m$  je jej vlastnosť - obsadenosť. V planárnom pro-

stredí býva index  $i$  vyjadrený formou dvojice  $(x, y)$ , čo sú Karteziánske súradnice pozície. Ich nevýhodou oproti mapám prvého typu je to, že sú volumetrické. Obsahujú nielen informácie o objektoch ale aj o absencii objektov. Location-based mapy, ktoré cele prostredie diskretizujú na sieť rovnakých štvorcových buniek a o každej bunke uchovávajú jedinu vlastnosť - obsadenosť, sa označujú ako *gridmapy* (*occupancy grid map*). Nakoľko reálne prostredie nie je často tvorené kolmými predmetmi, gridmapy nie sú absolútne presné. Voľbou vhodnej veľkosti buniek je možné dosiahnuť, že gridmapa bude obsahovať všetky potrebné informácie [10]. Čím ale menšie rozmery bunky, tým väčší počet všetkých buniek, čo znamená väčšie priestorové nároky.

Ak by sme uvažovali napríklad prostredie s dvoma rovnakými štvorcovými prekážkami s dĺžkou hrany 10 milimetrov, umiestenými tak, že ich stredy sú na súradniciach  $(15, 15)$  a  $(25, 25)$  príslušná features-based mapa by mohla byť  $m_{fb} = ([15, 15, 10], [25, 25, 10])$ . Gridmapa s bunkami o dĺžke hrany 10 milimetrov toho istého prostredia by bola  $m_g = \begin{pmatrix} 0 & 0 & 0 & 0 \\ 0 & 1 & 0 & 0 \\ 0 & 0 & 1 & 0 \\ 0 & 0 & 0 & 0 \end{pmatrix}$

### 2.1.2 Veličiny a ich náhodné premenné

V pravdepodobnostnej robotike sú veličiny modelované ako *náhodné premenné*. Každá náhodná premenná nadobúda hodnoty zo svojej domény podľa istých pravidiel. Veličiny, ktoré sa budú v našich problémoch vyskytovať sú:

- *pozícia robota*

Náhodnú premennú vyjadrujúcu pozíciu robota vzhľadom na mapu prostredia budeme označovať  $x$ , niekedy ako trojicu  $(x, y, h)$ , kde  $x$  a  $y$  sú súradnice robota,  $h$  je jeho natočenie. Z kontextu bude vždy zrejmé, či  $x$  vyjadruje pozíciu kompletne alebo iba jej prvú zložku.

$$x = (x, y, h) \quad (2.2)$$

- *vzdialenosti namerané senzormi*

Vzdialenosti namerané senzormi (*measurement data*) bude reprezentovať náhodná premenná  $z$ . Ak robot disponuje  $K$  senzormi, potom

$$z = (z^1, z^2, \dots, z^K) \quad (2.3)$$

- *zmena natočenia a vzdialenosť prejdená v poslednom kroku*

Zmenu súradníc pozície a natočenia robota (*control data*), ktorá nastala jeho poslednou vykonanou akciou, reprezentuje náhodná premenná

$$u = (\Delta x, \Delta y, \Delta h) \quad (2.4)$$

- *mapa*

Mapa prostredia, tak ako bola sformalizovaná v 2.1 nadobúda rôzne hodnoty, takže je to v podstate náhodna premenná modelujúca prostredie.

### 2.1.3 Belief

V úlohach, ktorým sa budeme venovať, bude pozícia robota vždy veličina, ktorú priamo nepozoruje. Robot ju musí v každom časovom okamihu odvodiť z pozorovaných veličín, ktorými sú vzdialenosti namerané senzormi či zmeny pozície. Pri pravdepodobnostnej paradigme sa nejedná o odvodenie jednej hodnoty nepozorovateľnej veličiny, ale o odvodenie pravdepodobnostnej distribúcie nepozorovanej náhodnej premennej podmienenej pozorovanými náhodnými premennými nad množinou jej všetkých možných hodnôt. Táto pravdepodobnostná distribúcia sa označuje ako *belief* (*domnienka*). Formálne:

$$bel(x_t) = p(x_t | u_{1:t}, z_{1:t}) \quad (2.5)$$

Je to pravdepodobnosť toho, že v čase  $t$  je pozícia robota  $x_t$ , ak boli doteraz vykonané pohyby  $u_{1:t} = (u_1, u_2, \dots, u_t)$  a senzormi namerané vzdialenosti  $z_{1:t} = (z_1, z_2, \dots, z_t)$ . Cieľom je, aby táto distribúcia bola čo najviac podobná skutočnej distribúcii skúmanej premennej. [14].

Je potrebné rozlišovať *apriórny* a *posteriórny* belief. Belief (2.5) je posteriórny, nakoľko je podmienený aj posledným meraním  $z_t$ . Apriórny belief v nejakom okamihu  $t$  je ten, ktorý robot má pred spracovaním posledného merania  $z_t$

$$bel^-(x_t) = p(x_t | u_{1:t}, z_{1:t-1}) \quad (2.6)$$

Reprezentácie belief a pravdepodobnostných distribúcií vôbec sa delia na:

- *spojité*

Distribúcia náhodnej premennej je spravovaná nejakou funkciou hustoty pravdepodobnosti (*probabilistic density function, pdf*). Všetko potrebné pre výpočet pravdepodobnosti konkrétnej hodnoty odhadovanej náhodnej premennej je predpis funkcie a jej parametre [14]. Nájsť pre distribúciu vhodnú funkciu hustoty a jej parametre je často netriviálna úloha.

- *diskrétne*

Tieto reprezentácie diskretizujú spojitý priestor hodnôt náhodnej premennej na konečný počet diskrétnych hodnôt. Pravdepodobnosť konkrétnej hodnoty môže byť tým pádom uchovávaná explicitne.

### 2.1.3.1 Váhovaná množina vzoriek

Jednou z diskrétnych aproximácií pravdepodobnostných distribúcií, ktorú budeme používať, je konečná množina váhovaných vzoriek (*weighted sample set*) distribuovaných v priestore podľa belief.

$$S = \{(x^i, w^i) | i = 1..N\} \quad (2.7)$$

Každá vzorka je dvojica, ktorej prvá zložka je konkrétna možná hodnota náhodnej premennej - *hypotéza*. Druhá zložka dvojice je váhou vzorky - *pravdepodobnosť splnenia hypotézy*. Predpokladáme, že

$$\sum_{i=1}^N w^i = 1 \quad (2.8)$$

V ideálnom prípade je vierohodnosť toho, že vzorka  $s = (x, w)$  sa vo výbere  $S$  nachádza, úmerná posteriornému belief  $bel(x)$ .

Ak je potrebné z množiny vzoriek vybrať, či vytvoriť jedného reprezentanta  $v_{est}$  hodnoty veličiny zastupenej náhodnou premennou  $x$  je možné použiť niektorú z nasledujúcich metód, z ktorých posledná je často najvhodnejšia no zároveň výpočtovo najťažšia [17].

- *váhovaný priemer*  $v_{est} = \sum_{i=1}^N w^i * x^i$
- *najlepšiu vzorku*  $v_{est} = x^j | w^j = \max(w^i) : i = 1..N$
- *váhovaný priemer vzoriek sústredených okolo najlepšej vzorky (robust mean)*

## 2.2 Bayesov filter

---

**Algorithm 1** Bayes Filter
 

---

**Input:**  $bel(x_{t-1}), u_t, z_t$ 
**Output:**  $bel(x_t)$ 

```

1: for all  $x_t$  do
2:    $bel^-(x_t) = \int p(x_t|u_t, x_{t-1}) bel(x_{t-1}) dx$ 
3:    $bel(x_t) = \eta p(z_t|x_t) bel^-(x_t)$ 
4: end for

```

---

Všeobecná schéma algoritmov pre výpočet belief nesie názov *Bayesov filter* 1. Algoritmy implementujúce Baysov filter sú rekurzívne. Na výpočet  $bel(x_t)$  potrebujú poznať  $bel(x_{t-1})$ , ktorý updatujú spracovaním vstupných dát  $u_t$  a  $z_t$ . Použitie dát  $u_t$  je na 3.riadku algoritmu nazývanom *predikcia*. Jej výsledkom je apriórny belief v čase  $t$ , získaný s posteriorného belief predchádzajúceho časového okamihu  $bel(x_{t-1})$  a vstupných dát  $u_t$ . V ďalšom kroku algoritmu nazývanom *korekcia* je apriórny belief použitý spolu s vstupnými dátami  $z_t$  na výpočet posteriorného belief.

Ako pri každom rekurzívnom algoritme, tak aj pri Bayesovom filtri má zmysel klásť si otázku, aká ja počiatočná hodnota rekurzívnej premennej. Odpoveď závisí od informácii, ktoré robot má k dispozícii na začiatku riešenia úlohy. Pre rôzne typy úloh, sú tieto začiatočné informácie rôzne.

### 2.2.1 Kalmanov filter

Najznámejšou technikou implementujúcou Bayesov filter je *Kalmanov filter* [20]. Ten prevádza výpočet belief so spojitou reprezentáciou. Aby ho bolo možné použiť, musia byť splnené nasledujúce predpoklady:

- inicializačný belief musí byť vyjadrený Gaussovou funkciou
- model pohybu musí byť lineárna funkcia s pridaným Gaussovským šumom
- model snímania musí byť lineárna funkcia s pridaným Gaussovským šumom

Existujú techniky, ktoré umožňujú použiť Kalmanov filter aj na nelineárne systémy. Jednou z nich *Extended Kalman filter*. Napriek veľkej popularite Kalmanovho filtra a jeho derivácii, obrátíme v tejto práci pozornosť na inú skupinu implementácii Baysovho filtra. Viac o Kalmanových filtroch je možné nájsť v [19], [20], [21].



### 2.2.2 Particle filter

---

**Algorithm 2** Particle Filter
 

---

**Input:**  $S_{t-1}, z_t, u_t$ 
**Output:**  $S_t$ 

```

1:  $S_t^- = \emptyset$ 
2: for  $i = 1$  to  $N$  do
3:   sample  $x_t^i \sim p(x_t | u_t, x_{t-1}^i)$ 
4:    $w_t^i = p(z_t | x_t^i)$ 
5:    $S_t^- = S_t^- \cup \langle x_t^i, w_t^i \rangle$ 
6: end for
7:  $S_t = \emptyset$ 
8: for  $i = 1$  to  $N$  do
9:   draw  $k$  with probability  $\propto w_t^k$ 
10:   $S_t = S_t \cup \langle x_t^k, w_t^k \rangle$ 
11: end for

```

---

*Particle filter 2* nazývaný tiež *Sequential Monte Carlo*, (*SMC*) je implementácia Bayesovho filtra, pre výpočet belief s diskrétnou reprezentáciou vo forme množinou váhovaných vzoriek 2.7. Jeho myšlienka je pomerne jednoduchá. Na vstupe dostane pohybové dáta  $u_t$ , sensorové dáta  $z_t$  a  $N$ -prvkovú množinu váhovaných vzoriek distribuovaných v stavovom priestore tak, že aproximujú  $bel(x_{t-1})$ . Najprv sa zmení stav každej vzorky na základe modelu pohybu, ktorý stochasticky generuje nový stav vzorky na základe distribúcie  $p(x_t | x_{t-1}, u_t)$ . Takýto model pohybu bližšie popíšeme v nasledujúcej kapitole. Po zmene stavu vzorky nastáva zmena jej váhy, čiže zmena vierohodnoti hypotézy, ktorá vraví že robot sa nachádza v stave rovnakom ako je stav danej vzorky. Nová váha vzorky je taká, akú dá model snímania vyjadrujúci pravdepodobnosť zosnímania dát  $z_t$  na pozícii vzorky. Na rozdiel od modelu pohybu, ktorý je pre particle filter špecifický, v roli modelu snímania je možné použiť ľubovoľný model. Posledná fáza algoritmu je resampling. V podstate je to pravdepodobnostná implementácia Darwinovej myšlienky "*Survival of the fittest*". Jeho úlohou je výberom s opakovaním vytvoriť novú množinu vzoriek. Pravdepodobnosť toho, že vzorka sa dostane do nového výberu má závisieť od jej váhy. Resampling nie je nutné vykonávať pri každom aplikovaní filtra. Jednou z možností ako určiť, či je resampling potrebné, je zistiť, či hodnota

$$N_{eff} = \frac{1}{\sum_{i=1}^N (w_i^i)^2} \quad (2.9)$$

nazývaná *effective number of particles* je pod nejakou zvolenou konštantou.

Vhodný počet vzoriek závisí od úlohy, žiadanej presnosti výsledku a hardwarových možností. Platí, že čím je počet vyšší, tým je metóda stabilnejšia, no tým sú aj vyššie jej vypočtové nároky. Počet vzoriek nemusí byť počas celej doby konštantný.

### 2.2.2.1 Importance resampling

Podstata resamplovania je z množiny vzoriek vytvoriť novú výberom s opakovaním z pôvodnej množiny vzoriek s prihliadnutím na ich váhu. Vzorky s malou váhou, majú malú pravdepodobnosť, že sa dostanú do nového výberu a tak zanikajú. Efekt resamplovania je nahradiť váhu vzorky na nejakej pozícii skupinou vzoriek na tej istej pozícii. [10]

Najjednoduchšia metóda výberu s opakovaním je algoritmus *Select with replacement* 3. Jeho časová zložitosť je závislá od zložitosti utriedenia poľa náhodných čísel z uniformného rozdelenia, čo je  $O(N \log(N))$

---

**Algorithm 3** Select with replacement

---

**Input:**  $W = \{w_i\}, \sum_{i=1}^N w_i = 1$

**Output:**  $SelectedIndices = \{j_i\}$

```

1:  $Q = \{q_k \mid k = 1 \dots N, q_k = \sum_{i=1}^k w_i\}$ 
2:  $R = \{r_k \mid k = 1 \dots N + 1, r_k = rand(0, 1)\}$ 
3:  $S = sort(R)$ 
4:  $S[N + 1] = 1$ 
5:  $i = 1$ 
6:  $j = 1$ 
7: while  $i \leq N$  do
8:   if  $S[i] \leq Q[j]$  then
9:     SelectedIndices +=  $\{j\}$ 
10:     $i++$ 
11:   else
12:      $j++$ 
13:   end if
14: end while

```

---

V práci [2] bol navrhnutý resamplovací algoritmus bežiaci v lineárnom čase. Kým predchádzajúci algoritmus 3 využíval na vytvorenie usporiadanej množiny náhodných čísel z uniformného rozdelenia triedenie náhodných čísel z intervalu  $(0, 1)$ , algoritmus *Select with replacement in linear time* 4 ju vytvára pomocou kumulatívnych súm záporných logaritmov náhodných čísel z intervalu  $(0, 1)$ .

---

**Algorithm 4** Select with replacement in linear time

---

**Input:**  $W = \{w_i\}, \sum_{i=1}^N w_i = 1$

**Output:**  $SelectedIndices = \{j_i\}$

```

1:  $Q = \{q_k \mid k = 1 \dots N, q_k = \sum_{i=1}^k w_i\}$ 
2:  $R = \{-\log(r_k) \mid k = 1 \dots (N + 1), r_k = rand(0, 1)\}$ 
3:  $T = \{r_k \mid k = 1 \dots (N + 1), t_k = \sum_{i=1}^k r_i\}$ 
4:  $T = normalize(T)$ 
5:  $i = 1$ 
6:  $j = 1$ 
7: while  $i \leq N$  do
8:   if  $S[i] \leq Q[j]$  then
9:     SelectedIndices +=  $\{j\}$ 
10:     $i++$ 
11:   else
12:      $j++$ 
13:   end if
14: end while

```

---

Ďalšie metódy resamplovania je možné nájsť v [17], [9]

## 2.3 Model pohybu

Implementovať fázu predikcie Bayesovho filtra 1 znamená reprezentovať pravdepodobnostnú distribúciu

$$p(x_t \mid x_{t-1}, u_t) \quad (2.10)$$

nazývanú *model pohybu (motion model)*. Ten popisuje pravdepodobnosť prechodu pozície zo stavu  $x_{t-1}$  do stavu  $x_t$  vplyvom vykonaných pohybov  $u_t$ . Pohyb robota je činnosť, ktorá jeho domnienku o stave pozície znejasňuje, zahmlieva. Ak má robot pred pohybom nejakú hypotézu o svojej pozícii, ktorej vierohodnosť je akákoľvek, po vykonaní pohybu vierohodnosť tejto a každej inej hypotézy klesne.

### 2.3.1 Sample motion model

*Sample motion model* 5 je implementácia modelu pohybu pre particle filter. Je schopný generovať nové vzorky na základe distribúcie  $p(x_t | x_{t-1}, u_t)$ , čím túto distribúciu istým spôsobom reprezentuje. Tak ako bolo spomínané v kapitole 2.1.2 predpokladáme, že v čase  $t$  sú pozícia robota a pohybové dáta vyjadrené náhodnými premennými

$$x_t = (x_t, y_t, h_t) \quad (2.11)$$

$$u_t = (\Delta x_t, \Delta y_t, \Delta h_t) \quad (2.12)$$

---

**Algorithm 5** Sample motion model
 

---

**Input:**  $x_{t-1} = (x_{t-1}, y_{t-1}, h_{t-1})$ ,  $u_t = (\Delta x, \Delta y, \Delta h)$

**Output:**  $x_t = (x_t, y_t, h_t)$

- 1:  $\Delta t = \sqrt{\Delta x^2 + \Delta y^2}$
  - 2:  $\Delta h^* = \Delta h + \text{sample}(\alpha_1 \Delta h + \alpha_2 \Delta t)$
  - 3:  $\Delta t^* = \Delta t + \text{sample}(\alpha_3 \Delta t + \alpha_4 \Delta h)$
  - 4:  $x_t = x_{t-1} + \Delta t^* \cos(h_{t-1} + \Delta h^*)$
  - 5:  $y_t = y_{t-1} + \Delta t^* \sin(h_{t-1} + \Delta h^*)$
  - 6:  $h_t = h_{t-1} + \Delta h^*$
- 

Algoritmus najprv vyráta prejdenú vzdialnosť  $\Delta t$  z na vstupe získaných prejdených vzdialeností v jednotlivých súradnicových smeroch  $\Delta x, \Delta y$ . Hodnote tejto vzdialenosti a hodnote zmeny natočenia  $\Delta h$  zo vstupu pridá gaussovský šum. Tento šum reprezentujú hodnoty vybrané z gaussovského rozdelenia so stredom v nule a varianciou závislou od parametrov  $\alpha_1, \alpha_2, \alpha_3, \alpha_4$  a hodnôt  $\Delta t$  a  $\Delta h$ . Význam parametrov modelu je nasledovný:

- $\alpha_1$  hovorí ako silno vplyvá zmena natočenia na chybu natočenia,
- $\alpha_2$  hovorí ako silno vplyvá zmena polohy na chybu natočenia,
- $\alpha_3$  hovorí ako silno vplyvá zmena polohy na chybu polohy,
- $\alpha_4$  hovorí ako silno vplyvá zmena natočenia na chybu polohy.

Jednoduchý spôsob ako vybrať hodnoty z gaussovej distribúcie je algoritmus *Sample from normal distribution* 6 .

---

**Algorithm 6** Sample from normal distribution

---

**Input:** *variance*

**Output:**  $x$

1:  $x = \frac{\text{variance}}{6} \sum_{i=1}^{12} \text{rand}(-1, 1)$

---

## 2.4 Model snímania

Zmena vierohodnosti hypotézy nastáva pri korekcii. Implementovať ju znamená vyjadriť pravdepodobnostnú distribúciu

$$p(z_t | x_t) \quad (2.13)$$

nazývanu model snímania (*measurement model*). Ten popisuje pravdepodobnosť zosnímania dát  $u_t$ , ak stav pozície je  $x_t$ .

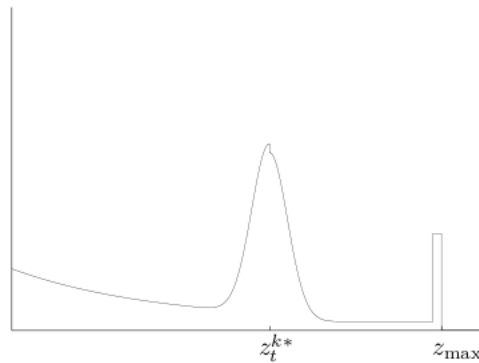
Ak zosnímané dáta  $z_t$  obsahujú viacero hodnôt  $(z_t^0, z_t^1, \dots, z_t^K)$ , získané či už viacnásobným použitím jedného senzora alebo použitím viacerých senzorov, potom predpokladáme, že výsledok merania jedného senzora neovplyvňuje výsledok merania ďalších a pravdepodobnosť namerania celej  $K$ -tice hodnôt je daná súčinom jednotlivých pravdepodobností

$$p(z_t | x_t) = \prod_{i=0}^k p(z_t^i | x_t) \quad (2.14)$$

Predpoklad nezávislosti jednotlivých meraní je iba teoretickým zjednodušením. V praxi, napríklad pri použití ultrazvukových senzorov, nie vždy platí. Šírka priestoru, v ktorom sonar dokáže zachytiť prekážku, je tak veľká, že snímateľné priestory susedných senzorov sa na niektorých miestach prekrývajú. Nájsť však presne hranice priestoru snímateľného jedným sensorom a pravidlá popisujúce závislosti meraní senzorov, by bolo náročné. Zjednodušený, nezávislosť predpokladajúci model je často postačujúci.

### 2.4.1 Beam measurement model

V algortime Particle filter slúži model snímania na ohodnotenie vzoriek. Každý vzorok nastaví hodnotu váhy v závislosti od toho, aká je pravdepodobnosť zosnímania sensorových dát na jej pozícii, teda na základe distribúcie  $p(z_t | x_t)$ . Algoritmus *Range finder measurement model 7* je na rozdiel od *Sample motion model 5* možné použiť aj v iných implementáciach Bayesovho filtra ako je Particle filter.



Obr. 2.1: Beam range finder model

Model 2.1 v základnej verzii podrobne opísanej v [20] reprezentuje distribúciu  $p(z_t | x_t)$  spojito pomocou špecifickej funkcie hustoty pravdepodobnosti zloženej zo štyroch zložiek. Každá z týchto zložiek je nejaká štandardná funkcia hustoty pravdepodobnosti a modeluje niektorú z chýb, ktorých príčiny vzniku sú

- *šum merania*

Presnosť a rozlíšenie sensorov sú obmedzené. Zosnímaná hodnota býva zaokrúhlená a často mierne odlišná od skutočnej. Táto zložka býva často modelovaná *gaussovou distribúciou* so stredom v ideálnej hodnote merania a varianciou, ktorá je parametrom modelu.

- *neočakované objekty v okolí*

V dynamickom prostredí je možné zosnímať objekty, ktoré mapa prostredia neobsahuje. Pravdepodobnosť takéhoto zosnímania klesá s rastúcou vzdialenosťou. Býva modelovaná *exponenciálnou distribúciou*. V statickom prostredí ju možno vynechať.

- *zlyhanie sensora*

Senzor niekedy nezachytí prekážku a vráti maximálnu hodnotu. Tento prípad je modelovaný *point-mass distribúciou*.

- *náhodné chyby*

Hoci je príčiny náhodných chýb komplikované popísať, je nutné ich v modeli zohľadniť. Každý možnej hodnote je priradená rovnaká nenulová pravdepodobnosť, že ju senzor vráti. Zložka je modelovaná *uniformnou distribúciou*.

Každá zo spomínaných distribúcií prispieva do výslednej distribúcie 2.1 svojou váhou. Váhy zložiek sú popri parametroch jednotlivých distribúcií parametrami modelu snímania. Tie je možné nastaviť “od oka“, alebo vydolovať nejakým *expectation maximization* algoritmom z dát obsahujúcich páry nameraných a skutočných vzdialeností  $(z_i, *z_i)$ .

---

**Algorithm 7** Beam measurement model
 

---

**Input:**  $z_t, x_t$

**Output:**  $prob(z_t | x_t)$

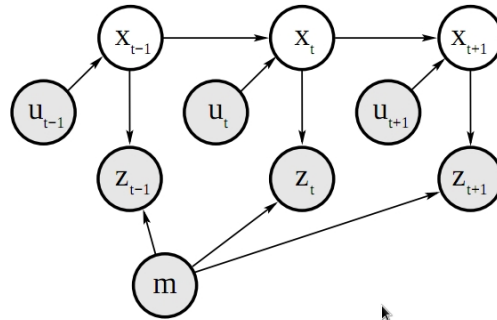
- 1: compute  $z_t^*$  according to  $x_t$
  - 2:  $prob(z_t | x_t) = w_{norm} * p_{norm}(z_t, z_t^*)$
  - 3:  $prob(z_t | x_t) += w_{exp} * p_{exp}(z_t, z_t^*)$
  - 4:  $prob(z_t | x_t) += w_{pointmass} * p_{pointmass}(z_t^*)$
  - 5:  $prob(z_t | x_t) += w_{uni} * p_{uni}(z_t)$
- 

## 2.5 Lokalizácia

Lokalizácia mobilného robota (*mobile robot localization*) je problém, pri ktorom je cieľom určiť pozíciu robota  $x_t$  vzhľadom na danú mapu statického prostredia  $m$ , ktorú ma robot apriórne k dispozícii. Formálny popis problému lokalizácie je v každom časovom okamihu  $t$  čo najpresnejšie určiť distribúciu

$$bel(x_t) = p(x_t | u_{1:t}, z_{1:t}, m) \quad (2.15)$$

Grafický model problému lokalizácie je znázornený na Algoritmy lokalizácie, ktoré reprezentujú belief pravdepodobnostnou distribúciou nad množinou možných pozícií a pre update belief po vykonaní pohybu a merania využívajú schému Bayesovho filtra 1, sa súhrne označujú ako *Markov Localization*.



Obr. 2.2: Grafický model problému loklizácie

Lokalizačné problémy je možné kategorizovať podľa množstva informácií, ktoré sú robotovi dané, do týchto skupín:

- *Position tracking*

Robot pozná svoju počiatočnú polohu. Jeho úlohou je iba vysporiadať sa s chybami odometrie. Nepresnosť je iba lokálna a po celý čas sústredená okolo skutočnej polohy. Može byť vyjadrená unimodálnou Gaussovou distribúciou.

- *Global localization*

Robot nepozná svoju počiatočnú polohu. Belief robota o svojej pozícii nie na začiatku možné vyjadriť unimodálnou distribúciou, čo znamená že tento porblém nie je možné riešiť Kalmanovými filtrami, vyžadujúcimi unimodálny inicializačný belief. Particle filtre a ich vzorková reprezentácia belief schopná aproximovať ľubovoľnú distribúciu je populárne metóda na riešenie tohto porblému.

- *Kidnapped robot problem*

Zahŕňa globálnu lokalizáciu a navyše robot môže byť kedykoľvek nesvojvoľne premiestnený na iné miesto. Jemne modifikovaný particle filter je schopný riešiť túto úlohu. Stačí nepatrnú časť zo všetkých vzoriek po každom resamplovaní roztrúsiť na náhodných pozíciách. Ak bol robot loklizovaný a následne premiesntený, zhluk vzoriek v okolí lokalizovného miesta postupne zanikne a lokalizácia beží akoby od začiatku.



**Algorithm 8** MCL**Input:**  $S_{t-1}, z_t, u_t, m$ **Output:**  $S_t$ 


---

```

1:  $S_t^- = \emptyset$ 
2: for  $i = 1$  to  $N$  do
3:   sample  $x_t^i \sim p(x_t | u_t, x_{t-1}^i, m)$ 
4:    $w_t^i = p(z_t | x_t^i, m)$ 
5:    $S_t^- = S_t^- \cup \langle x_t^i, w_t^i \rangle$ 
6: end for
7:  $S_t = \emptyset$ 
8: for  $i = 1$  to  $N$  do
9:   draw  $k$  with probability  $\propto w_t^k$ 
10:   $S_t = S_t \cup \langle x_t^k, w_t^k \rangle$ 
11: end for

```

---

**2.5.1 Monte Carlo Localization**

Lokalizácia Monte Carlo (*MCL*) je algoritmus zo skupiny *Markov localization* algoritmov. Pravdepodobnostnú distribúciu náhodnej premennej vyjadrujúcej pozíciu robota reprezentuje množiny váhovaných vzoriek. Po vykonaní pohybu a merania sa vzorky updatujú použitím algoritmu *particle filter 2* s tou zmenou, že v príslušnom modeli pohybu a modeli snímania vystupuje aj mapa prostredia.

$$p(x_t | x_{t-1}, u_t, m) \quad (2.16)$$

$$p(z_t | x_t, m) \quad (2.17)$$

Podľa toho, či sa jedná o feature-based alebo location-based mapu, je potrebné prispôbiť oba modeli. Viac reprezentácia mapy algoritmus nijako neovplyvňuje.

Keďže vzorkovou reprezentáciou je možné aproximovať ľubovoľnú pravdepodobnostnú distribúciu, je MCL schopná riešiť globálnu lokalizáciu a s malými úpravami aj kidnapped robot problém. Rozdiel medzi MCL pre position tracking a globálnu lokalizáciu je iba v inicializovaní vzoriek. Pri position trackingu sú pozície všetkých vzoriek inicializované v malom okolí skutočnej vopred známej pozície. Úlohou lokalizácie je iba vysporiadať sa s nepresnosťami pohybu, za pomoci senzorových dát. Vykonávaním pohybův sa zhuk vzoriek rozptyľuje v

rôznych smeroch podľa modelu pohybu 5. Ak by sme ignorovali výstupy senzorov, vzorky by sa po niekoľkých krokoch roztrúsili na všetky možné voľné pozície. Spracovanie sensorových dát sa však spravuje váhy vzoriek tak, aby vzorky na nepravdepodobných pozíciách zanikali. Vhodný počet vzoriek je pre position tracking nižší ako pre globálnu lokalizáciu a pre globálnu lokalizáciu nižší ako pre kidnapped robot problem. Návod ako odhadnúť vhodný počet vzoriek za behu možno nájsť v [6], [17].

## 2.6 Simultánná lokalizácia a mapovanie

Problém *simultánnej lokalizácia a mapovania (SLAM)* kladie otázku, či je možné, aby mobilný robot nasadený do neznámeho prostredia na neznámu pozíciu postupne vytváral mapu konzistentnú s prostredím a zároveň určoval svoju pozíciu vzhľadom na túto mapu. [4]. Zložitosť SLAM problému vyplýva z vysokorozmerného stavového priestoru zloženého z premenných popisujúcich pozíciu robota a premenných popisujúcich stav prostredia. Faktory, ktoré najviac ovplyvňujú zložitosť mapovania sú:

- veľkosť prostredia
- presnosť pohybov a snímania
- štruktúra prostredia (cykly, podobajúce sa regióny, ...)

Formálny pravdepodobnostný popis problému simultánnej lokalizácie a mapovania je určenie posteriórnej pravdepodobnostnej distribúcie

$$bel(x_{1:t}, m) = p(x_{1:t}, m \mid u_{1:t}, z_{1:t}) \quad (2.18)$$

Hlavné kritéria podľa ktorých sa rozdeľujú existujúce riešenia SLAMu sú:

- *Reprezentácia mapy prostredia*
  - feature-based mapy
  - location-based mapy
- *Algoritmus použitý na výpočet belief*
  - Kalmanov filter a jeho derivácie
  - Rao-Blackwellized particle filter

### 2.6.1 FastSLAM

*FatSLAM* je skupina metód pre problém SLAMu, ktoré sú založené na Rao-Blackwellized particle filtri. Prvý algoritmus z tejto skupiny bol uvedený v práci [11] v roku 2002 a znamenal výrazný posun v pravdepodobnostných riešeniach SLAMu, keďže ako prvý dokázal reprezentovať nelineárny model pohybu a ne-gaussovskú distribúciu pozície.

Vysokorozmerný stavový priestor SLAMu robí základnu verziu particle filtra, v ktorom by každá častica obsahovala jednu možnú polohu robota a jednu možnú mapu prostredia, nepoužiteľnou. Redukciu množstva potrebných voriiek je možné dosiahnuť aplikovaním *Rao-Blackwell teóremy*, podľa ktorej je združená pravdepodobnosť  $p(x_1, x_2)$  rozložená na súčin použitím *product rule*

$$p(x_1, x_2) = p(x_2 | x_1) * p(x_1) \quad (2.19)$$

Ak je možné vyjadriť  $p(x_2 | x_1)$  analiticky, potrebné je samplovať iba  $p(x_1)$ . Aplikovaním Rao-Blackwellized teóremy na problém SLAMu 2.18, dostávame

$$p(x_{1:t}, m | u_{1:t}, z_{1:t}) = p(x_{1:t} | u_{1:t}, z_{1:t}) * p(m | x_{1:t}, z_{1:t}) \quad (2.20)$$

Trajektória je reprezentovaná váhovanými vzorkami a updatovaná particle filtrom. Mapa prostredia je počítaná analiticky za predpokladu, že trajektória robota je korektná. Každá vzorka tak obsahuje vlastnú mapu a zároveň každá mapa je budovaná podľa trajektórie príslušnej vzorky. V prípade mapovania rozsiahleho priestoru použitím tejto základnej verzie FastSLAMu s pamäťovo náročnými gridmapami, by bolo nutné prispôbiť, čo znamená zredukovať množstvo vzoriek tak, aby celkové pamäťové nároky implementácie ostali v rozumných hraniciach. Ak je robot vybavený laserovými senzormi, ktorých presnosť je pomerne vysoká, použitím techniky *scan matching* je možné veľmi presne identifikovať korektné hypotézy pozície a vysoký počet vzoriek v tom prípade nie je nutný. My sa zameráme na prípad SLAMu pre roboty vybavené sonárnymi senzormi, ktorých presnosť je oproti laserovým senzormi neporovnateľne nižšia. Laserovým implementáciám stačí jedno zosnímanie okolia a jeho porovnanie s mapou, ktoré pri sonárnych implementáciách nevedie k dobrým výsledkom. Prvá práca, ktorá venovala riešeniu SLAM problému pre systémy vybavené sonárnymi senzormi, bola [18]. V tejto práci bol zároveň navrhnutý spôsob, ako sharovať medzi viacerými vzorkami jednu a tú istú gridmapu, resp. jej časť. Pri mapovaní rozsiahleho priestoru sa očakávajú aj veľké rozmery generovanej gridmapy. Vieme, že pri resamplovaní dochádza ku klonovaniu vzoriek s vysokými váhami.

Takto vznikajú viaceré identické vzorky, z ktorých každá obsahuje kópiu mapy spoločnej rodičovskej vzorky. V ďalších krokoch sa v dôsledku stochastického modelu pohybu tieto mapy začnú líšiť, no zmeny sú iba lokálne, postihujúce iba malé úseky gridmapy. V práci [18] je navrhnutý spôsob sharovania mapy jej rozdelením do blokov konštantnej veľkosti a zaznamenávať zmeny každej vzorky na konkrétnych blokoch. Ďalšie podobné spôsoby sharovania sú uvedené v prácach [5], [7].

### 2.6.2 Generovanie gridmapy zo sonárnych dát

Keďže sme sa vybrali za riešením SLAMu po ceste gridmáp a ultrazvukových senzorov, je potrebné nájsť spôsob, ako ich navzájom prepojiť. Budeme sa zaoberať reprezentáciou a aktualizovaním distribúcie

$$p(m \mid x_{1:t}, z_{1:t}) \quad (2.21)$$

ktorá vyjadruje pravdepodobnosť že mapa je v stave  $m$ , ak sme na pozíciách  $x_{1:t} = \{x_1, x_2, \dots, x_t\}$  dostali zo senzorov dáta  $z_{1:t} = \{z_1, z_2, \dots, z_t\}$ . Ak prijímeme predpoklad, že stavy obsadenosti jednotlivých buniek  $m_i$  v gridmape  $m = \{m_1, m_2, \dots, m_M\}$  sú nezávislé, môžeme vzťah 2.22 dekomponovať na súčin

$$p(m \mid x_{1:t}, z_{1:t}) = \prod_{i=1}^M p(m_i \mid x_{1:t}, z_{1:t}) \quad (2.22)$$

kde  $m_i$  je binárna náhodná premenná vyjadrujúca obsadenosť  $i$ -tej bunky gridmapy  $m$ . Tú je niekedy vhodnejšie vyjadriť v tzv. *log-odds forme*

$$l_{t,i} = \log \frac{p(m_i \mid x_{1:t}, z_{1:t})}{1 - p(m_i \mid x_{1:t}, z_{1:t})} \quad (2.23)$$

Rekonštrukcia hodnoty  $p(m_i \mid x_{1:t}, z_{1:t})$  z log-odd formy je

$$p(m_i \mid x_{1:t}, z_{1:t}) = 1 - \frac{1}{1 + \exp(l_{t,i})} \quad (2.24)$$

Ak predpokladáme, že na začiatku mapovania je na každej bunke rovnako pravdepodobný stav *obsadený* a stav *voľný*, odvodíme inicializačné hodnoty pre všetky bunky

$$l_{0,i} = \log \frac{0.5}{1 - 0.5} = 0; \quad \forall i = 1..M \quad (2.25)$$

**Algorithm 9** Grid Mapping**Input:**  $\{l_{t-1,i}\}$ ,  $x_t$ ,  $z_t$ **Output:**  $\{l_{t,i}\}$ 


---

```

1: for  $i = 1$  to  $M$  do
2:   if  $i$  in perceptual field of  $z_t$  then
3:      $l_{t,i} = l_{t-1,i} + \text{InverseMeasurementModel}(m_i, x_t, z_t)$ 
4:   else
5:      $l_{t,i} = l_{t-1,i}$ 
6:   end if
7: end for

```

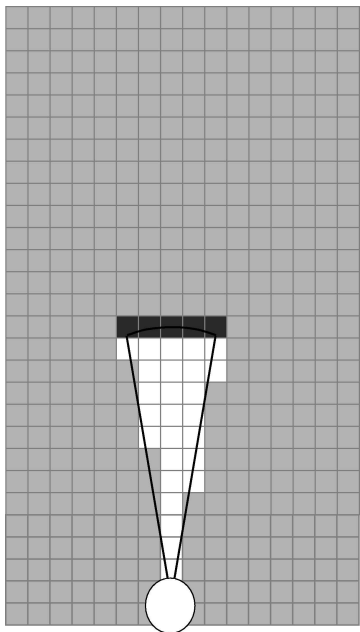
---

Všeobecná schéma algoritmov updatujúcich hodnoty buniek z prichádzajúcich meraní na nových pozíciách je algoritmus *Grid Mapping*. Jeho myšlienka je jednoduchá. Bunky, ktoré sú mimo apertúry senzora si nevšúma. Bunkám, ktoré je možné sensorom zosnímať, zníži alebo zvýši hodnotu podľa výsledku podprocedúry *InverseMeasurementModel*. Tá implementuje inverzný model snímania v log-odds forme

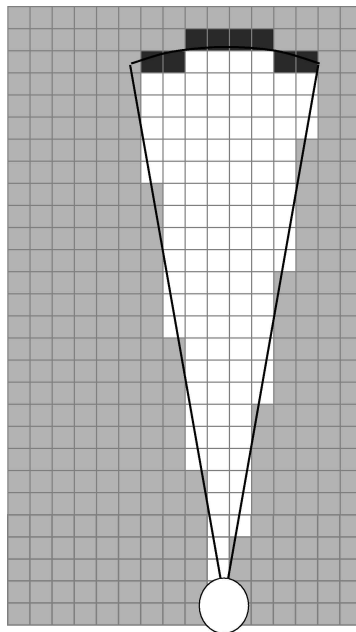
$$\text{InverseMeasurementModel}(m_i, x_t, z_t) = \log \frac{p(m_i | x_i, z_i)}{1 - p(m_i | x_i, z_i)} \quad (2.26)$$

**2.6.2.1 Inverzný model snímania**

Práve inverzný model snímania je to, pre čo neexistuje všeobecný spôsob ako ho implementovať, ktorý by dobre fungoval s ľubovoľným typom sensorov. Jedna z takýchto všeobecných metód, ktorá by mohla po vhodnom naladení parametrov fungovať na laserových senzoroach je znázornená na obrázkoch 2.3, 2.4. Z nich je možné dostatočne pochopiť myšlienku metódy, jej pseudokód je možné nájsť v [20]. Jej základom je ohodnotenie buniek vo vzdialenosti zosnímanej sensorom konštantou z intervalu  $(0.5; 1)$ . Vyššia hodnota tejto konštanty znamená našu väčšiu dôveru v to, že na nameranej vzdialenosti sa skutočne nachádza nejaký objekt. Bunkám vo vnútri apertúry je priradená konštantá z intervalu  $(0; 0.5)$ . Nižšia hodnota znamená väčšiu dôveru v to, sensor nenamerá nižšiu hodnotu preto, lebo sa na príslušných miestach žiaden objekt nenachádza, a nie preto, že sa nachádza ale sensor pochybil.



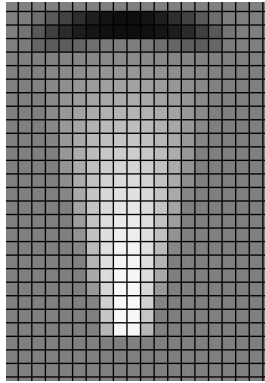
Obr. 2.3: Inverse Measurement Model A1



Obr. 2.4: Inverse Measurement Model A2

Ďalší spôsob, ktorý môžeme chápať ako zovšeobecnenie predchádzajúceho, pochádza z prác [12] a [13]. Venujú sa problému ako podľa sonárnych meraní klasifikovať bunky gridmapy na prázdne, obsadené, alebo neznáme. Podobne ako v predchádzajúcej technike, aj v tejto sa bunky pred senzorom rozdelia na okrajové a vnútorné. Pre bunky z každej z týchto skupín sa určí pravdepodobnosť stavu, že bunka je obsadená alebo prázdna, podľa rôznych funkcií. Ich predpisy su navrhnuté tak, aby pravdepodobnosť obsadenosti buniek vyskytujúcich sa na osi senzora v namerane vzdialenosti bola navyššia a so stúpajúcim uhlom buniek od senzora klesala. Funkcia, ktorá mení bunky vnútorného regiónu a vyjadruje presvedčenie o neexistencii objektu na danom mieste, klesá so vzdialenosťou a uhlom bunky od senzora. Lokálna gridmapa vytvorená touto metódou z jednej senzorom nameranej hodnoty by mohla vyzerat' zhruba ako na obrázku 2.5.

V práci je zároveň popísaný spôsob, ako lokálne gridmapy vytvorené z jednotlivých meraní zakomponovať do výslednej globálnej gridmapy a zároveň získať hodnotu vyjadrujúcu kvalitu prekrytia. Oproti prvej spomínanej metóde je táto výpočtovo náročnejšia, no lepšie reprezentuje snímanie sonárnymi senzormi.



Obr. 2.5: Iverse measurement model B

Tretia technika mapovania gridmáp, ktorú spomenieme, pochádza z práce [8]. Jej základom je zovšeobecnenie gridmáp na tzv. *response gridmapy*, ktoré sú vhodnejšie pre mapovanie prostredia s častým javom *specular reflection* 2.6. V dôsledku neho sa stáva, že hoci je prekážka v apertúre senzora v primeranej vzdialenosti, senzor ju nezachytí kvôli uhlu, ktorý zvierá k nemu natočený povrch prekážky s osou senzora. Vyslaný impulz sa od povrchu odrazí v opačnom smere a echo od prekážky sa nevráti späť k senzoru. Objekt sa tak v istom smere javí ako neviditeľný, teda pre robota neexistujúci.



Obr. 2.6: Specular reflection

Rozdiel medzi klasickou gridmapou a response gridmapou je nasledovný. O bunkách klasickej gridmapy sa predpokladalo, že ak sú obsadené, odrážajú impulzy v každom smere; ak sú voľné, impulz nevráti. Bunky response gridmapy majú ďalší rozmer, ktorým je smer. Jedna bunka sa môže v istom smere javiť voľná, v inom smere môže vracieť echo k senzoru (odpovedá). Bunku gridmapy kategorizujeme ako obsadenú, ak odpovedá aspoň v jednom smere. Počet sme-

rov, na koľko je vhodné particiovať bunky, je ľubovoľný. Zvyčajne nadobúda hodnoty od 2 po 8. Autori práce [3] ju dokonca zafixovali na hodnotu rovnakú, ako je počet senzorov robota.

Matematicke vyjadrenie modelu response gridmáp je nasledovné. Obsadenosť bunky na pozícii  $(i, j)$  vyjadruje binárna stavová premenná

$$Occ(i, j) = \{occupied, unoccupied\} \quad (2.27)$$

Odpovedanie bunky na pozícii  $(i, j)$  v smere  $\phi$  vyjadruje binárna stavová premenná

$$Res(i, j, \phi) = \{response, no\ response\} \quad (2.28)$$

Obory hodnôt indexov sú:

- $i \in \{1, 2, \dots, M_r\}$ , kde  $M_r$  je počet riadkov gridmapy
- $j \in \{1, 2, \dots, M_c\}$ , kde  $M_c$  je počet stĺpcov gridmapy
- $\phi \in \{1, 2, \dots, \Phi\}$ , kde  $\Phi$  je zvolený počet smerov

Poznamenajme, že predpokladáme nezávislosť buniek rovnako ako v gridmapách. Cieľom je teraz ukázať spôsob ako odvodiť pravdepodobnosť udalosti

$$Occ(i, j) = occupied \quad (2.29)$$

Takáto udalosť nastáva vtedy, ak bunka na pozícii  $(i, j)$  odpovedá aspoň v jednom smere, t.j.

$$(Occ(i, j) = occupied) \Leftrightarrow ((Res(i, j, 1) \vee (Res(i, j, 2) \vee \dots \vee (Res(i, j, \Phi))) \quad (2.30)$$

Negáciou výroku, “Bunka  $(i, j)$  je okupovaná.“, je výrok “Bunka  $(i, j)$  neodpovedá v žiadnom smere  $\phi$ .” Pravdepodobnosť splnenia prvého výroku preto získame ako rozdiel

$$p(Occ(i, j)) = 1 - \prod_{\phi=1}^{\Phi} 1 - p(Res(i, j, \phi)) \quad (2.31)$$

Tento vzťah poskytuje návod, ako v každom kroku z existujúcich hodnôt  $Res(i, j, \phi)$  odvodiť  $Occ(i, j)$ . Pri absencii akýchkoľvek počiatočných informácií o gridmape, ju inicializujeme tak, aby stavy *occupied* a *unocupied* premennej  $Occ$  boli v každej rovnako pravdepodobné, čo znamená

$$p(Occ(i, j)) = 0.5 \quad (2.32)$$



Inicializačné hodnoty pravdepodobností premennej  $Res$  sú preto

$$p(Res(i, j, \phi)) = 1 - (0.5)^{\frac{1}{\Phi}} \quad (2.33)$$

Aktualizácia všetkých hodnôt  $p(Res(i, j, \phi))$  po prijatí merania  $z$  na pozícii robota  $x$  funguje podľa schémy Bayesovho pravidla

$$p(Res(i, j, \phi)|z, x) = \frac{p(z|(Res(i, j, \phi), x)) * p((Res(i, j, \phi)|x))}{p(z|x)} \quad (2.34)$$

Od tohto miesta sa vzdialíme práci [8], z ktorej si odnášame myšlienku pridania tretieho rozmeru bunkám. Dôvodom je v nej uvedený model pohybu  $p(z|(Res(i, j, \phi), x))$ , javiaci sa akoby bol vytvorený a nevysvetliteľnými konštantami doladený pre jedno použitie.

Odvodenie vlastnej metódy pre aktualizáciu pravdepodobnosti ( $Res(i, j, \phi)$ ) pre bunky ležiace v apertúre senzora začneme v regióne buniek, ktorých vzdialenosť od senzora je rovnaká ako nameraná vzdialenosť. Analýzu pre bunky s vzdialenejšie a bližšie ako nameraná vzdialenosť uvidíme neskôr.

Majme teda ľubovoľnú bunku, ktorej vzdialenosť od senzora odpovedá nameranej vzdialenosti. Odvodenie vzťahu pre update jej stavovej premennej  $Res(i, j, \phi)$  z čerstvých dát  $x, z$  začneme rovnako Bayesovým pravidlom. Kvôli lepšej prehľadnosti dlhých výrazov, ktoré nas čakajú, spravíme najprv premenovania

$$R(i, j, \phi) := Res(i, j, \phi) \quad (2.35)$$

$$P := p(R(i, j, \phi) | x, z) \quad (2.36)$$

Bayesovo pravidlo nasadené na náš problém potom vyzerá

$$P = \frac{p(z|(R(i, j, \phi), x)) * p((R(i, j, \phi)|x))}{p(z|x)} \quad (2.37)$$

Prvé zjednodušenie dostávame, ak si uvedomíme že starý stav ( $R(i, j, \phi)$ ) nezávisí od novej polohy robota  $x$ , čo znamená

$$p((R(i, j, \phi)|x)) = p((R(i, j, \phi))) \quad (2.38)$$

Spojením 2.37 a 2.38 dostávame

$$P = \frac{p(z|(R(i, j, \phi), x)) * p((R(i, j, \phi)))}{p(z|x)} \quad (2.39)$$

Teraz marginalizujeme udalosť namerania dát  $z$  na pozícii  $x$  cez možné hodnoty  $R(i, j, \phi)$

$$p(z|x) = p(z|x, R(i, j, \phi)) * p(R(i, j, \phi)) + p(z|x, \neg R(i, j, \phi)) * p(\neg R(i, j, \phi)) \quad (2.40)$$

Spojením 2.39 a 2.40 dostávame

$$P = \frac{p(z|(R(i, j, \phi), x)) * p(R(i, j, \phi))}{p(z|x, R(i, j, \phi)) * p(R(i, j, \phi)) + p(z|x, \neg R(i, j, \phi)) * p(\neg R(i, j, \phi))} \quad (2.41)$$

Výraz  $p(z|(R(i, j, \phi), x))$  vyjadruje pravdepodobnosť namerania konkrétnej hodnoty  $z$ , za predpokladu, že pozícia robota je  $x$  a bunka na pozícii  $(i, j)$  odpovedá v smere  $\phi$ . Senzor vráti hodnotu  $z$  jedine vtedy, ak žiadna z buniek ležiacich medzi danou bunkou a senzorom v žiadnom zo svojích smerov neodpovedá. Množinu takých buniek, ktorých vzdialenosť od senzora je menšia ako  $z$ , označíme  $IN_z$  a pravdepodobnosť toho, že žiadna z nich v žiadnom smere neodpovedá  $P_{\neg IN_z}$ . Z toho, čo sme povedali, dostávame

$$P_{\neg IN_z} := p(z|(R(i, j, \phi), x) = \prod_{(i, j, \phi) \in IN} \neg R(i, j, \phi) \quad (2.42)$$

Dosadením 2.42 do 2.41 dostávame

$$P = \frac{P_{\neg IN_z} * p(R(i, j, \phi))}{P_{\neg IN_z} * p(R(i, j, \phi)) + p(z|x, \neg R(i, j, \phi)) * p(\neg R(i, j, \phi))} \quad (2.43)$$

Ďalej sa zameriame na podvýraz  $p(z|x, \neg R(i, j, \phi))$  vyjadrujúci pravdepodobnosť toho, že namerame hodnotu  $z$  hoci jedna z buniek v tejto vzdialenosti v smere  $\phi$  určite neodpovedá. Aby senzor mohol namerať hodnotu  $z$  musela preto odpovedať aspoň jedna z ďalších buniek v rovnakej vzdialenosti od senzora ako riešená neodpovedajúca bunka. Navyše muselo súčasne platiť, že žiadna z buniek množiny  $IN_z$  nemohla znova odpovedať v žiadnom smere. Množinu buniek ležiacich vo vzdialenosti  $z$  od senzora s výnimkou bunky  $(i, j, \phi)$  označíme  $C_z^{i, j, \phi}$  a pravdepodobnosť toho, že niektorá z nich v niektorom smere odpovedá  $P_{C_z^{i, j, \phi}}$

$$p(z|x, \neg R(i, j, \phi)) = P_{C_z^{i, j, \phi}} * P_{\neg IN_z} \quad (2.44)$$

Dosadením 2.44 do 2.43 a zopár jednoduchými úpravami dostávame

$$P = \frac{P_{\neg IN_z} * p(R(i, j, \phi))}{P_{\neg IN_z} * p(R(i, j, \phi)) + P_{C_z^{i, j, \phi}} * P_{\neg IN_z} * p(\neg R(i, j, \phi))} \quad (2.45)$$

$$P = \frac{p(R(i, j, \phi))}{p(R(i, j, \phi)) + P_{C_z^{i, j, \phi}} * (1 - p(R(i, j, \phi)))} \quad (2.46)$$

$$P = \frac{1}{1 + \frac{P_{C_z^{i,j,\phi}}}{p(R(i,j,\phi))} - P_{C_z^{i,j,\phi}}} \quad (2.47)$$

$$P_{C_z^{i,j,\phi}} = 1 - \prod_{(i,j,\phi) \in C_z^{i,j,\phi}} \neg R(i,j,\phi) = 1 - \prod_{(i,j,\phi) \in C_z^{i,j,\phi}} (1 - R(i,j,\phi)) \quad (2.48)$$

Vzťahy 2.47 a 2.48 nám dávajú návod, ako aktualizovať stavovú premennú *Res* buniek, ktorých vzdialenosť od senzora, je približne rovnaká ako nameraná hodnota. Bunky s väčšou vzdialenosťou sme sa rozhodli ponechať na starých hodnotách, keďže o tom či odpovedajú alebo nie, nemôžeme nič tvrdiť, medzi nimi a senzorom leží objekt, ktorý ich cloní. Pravdepodobnosť buniek s menšou vzdialenosťou sme sa rozhodli iba penalizovať nejakou konštantou z intervalu  $(0, 1)$ .

### 2.6.3 Odometry-Sonar-ResGrid FastSLAM

Názvom *Odometry-Sonar-Grid FastSLAM*, (*O-S-G FastSLAM*) označíme techniku riešenia SLAM problému, ktorá

- pohybové dáta získava z *odometrie*
- senzorové dáta získava iba zo *sonárnych* senzorov
- buduje *response gridmapu* prostredia
- patrí do skupiny *FastSLAM* algoritmov, čo znamená, že jej základom je Rao-Blackwellized particle filter

$$p(x_{1:t}, m \mid u_{1:t}, z_{1:t}) = p(x_{1:t} \mid u_{1:t}, z_{1:t}) * p(m \mid x_{1:t}, z_{1:t}) \quad (2.49)$$

Belief pozície je reprezentovaný váhovanými vzorkami 2.50

$$S_t = \{(x_{1:t}^i, p(m^i \mid x_{1:t}^i, z_{1:t}), w_t^i) \mid i = 1..N\} \quad (2.50)$$

z ktorých každá obahuje možnú trajektóriu robota a vlastnú *response gridmapu* prostredia. Model pohybu je možné implementovať podľa *sample motion model* 2.3.1. Pre zmeny váh vzoriek nie je nutné implementovať model snímania, tak sme to spravili pri Monte Carlo lokalizácii. Kvalitu vzoriek možno určiť aj tým, že ohodnotíme kvalitu prekryvu novej *gridmapy* s jej verziou, v ktorej

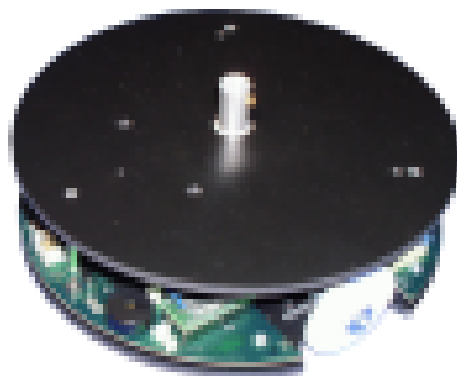
bola pred zahrnutím posledného merania. Čím sa mapy viac podobajú, tým menej prekvapení prinieslo posledné meranie, tým viac odpovedá odhadovaná pozícia robota a pozícia mapy skutočnosti. Resamplovanie a určenie stavu kedy je potrebné funguje presne ako sme ho popísali v predchádzajúcich kapitolách.



## Kapitola 3

# Experimenty

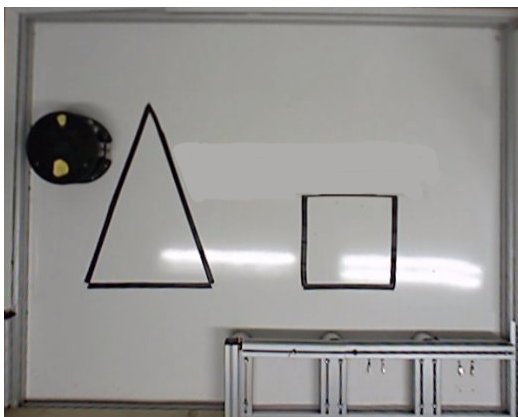
### 3.1 Platforma a prostredie



Obr. 3.1: Robotnačka

Platforma použitá pre odskúšanie implementácii pravdepodobnostných lokalizačných a mapovacích algoritmov bol mobilný robot *robotnačka* [22], ktorý je súčasťou robotické laboratória *Virtual Robotic Lab* [15]. Aby sme mohli sledovať a zaznamenávať dianie robota, obmedzili sme jeho svet na stôl laboratória snímaný kamerami, ktorého rozmery sú 1200 a 1500 milimetrov. Vzhľadom na priemer robotnačky, ktorý je 210 milimetrov, bol tento jej svet pomerne malý. Experimenty boli zamerané na algoritmy odvodené od particle filtra a jeho vzorčkovej reprezentácie pravdepodobnostných distribúcií. Úspešnosť a nároky týchto metód (pri fixnom stupni požadovanej presnosti) výrazne závisia od veľkosti prostredia, preto nie rozsiahle prostredie virtuallabu bolo pre naše účely úplne

postačujúce. Nami používaná robotnačka zdieľa stôl s ďalšou pohybu schopnou robotnačkou. Tá bola počas experimentov nepoužívaná a prostredie sme preto uvažovali ako statické.



Obr. 3.2: Virtual Robotic Lab

Lokalizačná aj mapovacia aplikácia, ktoré sme vytvorili, môžu byť použité aj s iným typom robota ako robotnačka. Použitý robot musí spĺňať všetky z nasledujúcich požiadaviek:

- *mobilita*

Použitý robot musí byť schopný pohybovať sa prostredím a poskytovať dáta o vykonaných pohyboch.

- *snímanie*

Robot musí disponovať aspoň jedným senzorom na meranie vzdialeností a vedieť poskytovať namerané hodnoty.

- *komunikácia*

S robotom sa musí dať komunikovať prostredníctvom Java API. Komunikovať pre nás znamená vysielat' mu pohybové príkazy a prijímať dáta zo senzorov.

Jediným modulom našej aplikácie, ktorý je priamo závislý od použitého robota je trieda `RobotManager`. Jej inštancia zabezpečuje nadviazanie spojenia a následnú komunikáciu s robotom. Ostatné objekty aplikácie môžu ovládať robota volaním jej verejnej metódy `act(action, stepSize, dataExpectant)`, ktorá zabezpečí, že príslušný robot vykoná akciu `action` s veľkosťou kroku

`stepSize`. Ak vykonanie tejto akcie a následné zosnímanie okolia senzormi prebehne v poriadku, bude zavolaná príslušná metóda objektu `dataExpectant` s argumentami, ktorými budú odometrické a sensorové dáta. Povolené akcie sú `forward`, `left`, `right`. API robotnačky dáva odometrické dáta a očakáva hodnotu akcie, ktorú ma vykonať, v jej špecifickej jednotke, ktorou je *počet krokov*. Za uniformnu jednotku dĺžky sme v celej aplikácii zvolili milimetre. Mierou uhlov boli radiány. Príslušnú konverziu medzi týmito dvoma jednotkami zabezpečuje tiež výhradne táto trieda. V prípade použitia iného robota (prípadne iného API robotnačky) je táto trieda jediná, ktorú je potrebné prispôsobiť prepísaním a prekompilovaním a preto sme ju na tomto mieste popísali. Ďalšie moduly aplikácie budú spomenuté v nasledujúcich kapitolách. Dokumentáciu použitého Java API robotnačky, je možné nájsť na adrese <http://webcvs.robotika.sk/cgi-bin/cvsweb/~checkout~/robotika/robot/java/doc/index.html>.

## 3.2 Pohyb

Pohyb robotnačky zabezpečujú dva krokové motory *Microcon SX 17* a voľné oporné koliesko kvôli stabilite. Aplikácia komunikujúca s robotnačkou cez jej API získava na požiadanie jej pohybové dáta získané odometriou. Tieto dáta sú vo forme dvojice

$$(u_x, u_y) \quad (3.1)$$

kde  $u_x$  je celkový počet krokov prejdých od (re)štartu odometrie v smere kolmom na počiatočný smer robotnačky. Podobne  $u_y$  je celkový počet krokov prejdých od (re)štartu odometrie v smere vodrovnom k počiatočnému smeru robotnačky.

Model pohybu robotnačky sme implementovali podľa schémy *sample motion model* 5. Nakoľko ten očakáva na vstupe dáta o pohybe vo forme trojice

$$u = (\Delta x, \Delta y, \Delta h) \quad (3.2)$$

bolo potrebné do tejto podoby transformovať odometrické dáta 3.1. Zistiť zmeny  $\Delta x, \Delta y$  bolo triviálne, odhaliť zmenu natočenia pomohla zabudovaná funkcia `atan2`. Kvôli tejto transformácii sme museli zakázať robotnačiu akciu `backward`. Ak by bolo totiž cúvanie povolené, nebolo by z odometrických dát možné jednoznačne určiť, či robotnačka cúvla a natočenie nezmenila, alebo sa otočila o pravý uhol a šla dopredu. Po dvoch takýchto rôznych postupnostiach

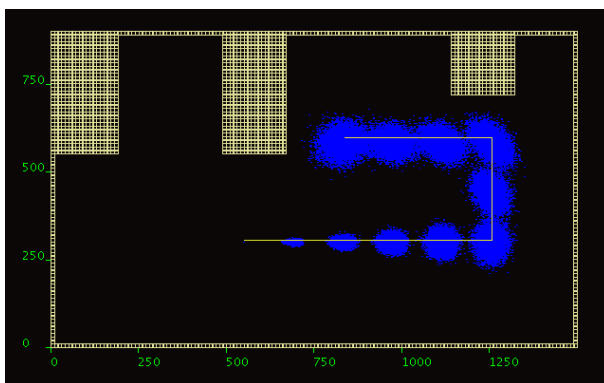


akcii máme rovnaké dáta  $(u_x, u_y)$ , no dve možnosti pre príslušné  $(\Delta x, \Delta y, \Delta h)$ . Druhým obmedzením, ktoré si táto transformácia vyžiadala, bolo zakázanie akcie s nulovou dĺžkou kroku. Po nej nie je možné z dát  $(u_x, u_y)$ , ktoré sa samozrejme v poslednom kroku nijako nezmenili, odvodiť zmenu natočenia robota. Zmenu natočenia nie je možné zistiť z týchto dát ani ak bol robot pootočený o nenulový počet krokov, preto pohybovú akciu považujeme za kompletnu až vtedy ak sa zmenili  $(u_x, u_y)$ . Kým sa aspoň jedna zložka tejto dvojice nezmení **RobotManager** neposkytuje žiadne dáta (ani senzorové, nakoľko sú zbytočné ak nevieme, či sa robot otáčal alebo nie).

Použitý formálny model pohybu 5 bolo potrebné vhodným nastavením parametrov  $\alpha_i$  čo najlepšie zosúladiť s pohybom robotničky. Ako sme uvádzali v kapitole 2.3.1, je hodnoty týchto parametrov možné vydolovať algoritmicky z reálneho datasetu alebo nastaviť “od oka“ pozorovaním chýb, ktoré pri pohybe robota vznikajú. My sme sa rozhodli pre druhú možnosť. Po mnohých pokusoch s rôznymi hodnotami sme sa ustálili na hodnotách uvedených v tabuľke 3.2.

$\alpha_1$	0.005
$\alpha_2$	0.0005
$\alpha_3$	0.2
$\alpha_4$	0.5

Tabuľka 3.1: Parametre modelu pohybu



Obr. 3.3: Chyby pohybu

Na obrázku 3.3 sme znázornili, čo by sa dialo so vzorkami inicializovanými na rovnakej pozícii, ak by sme sa robotom pokúšali prejsť po plnej čiare a po každom kroku by pozície vozriek predikoval model pohybu s parametrami z tabuľky 3.2 Korekcia vzoriek v tomto príklade zanedbaná. Hodnoty parametrov modelu je možné v aplikácii prenasťavovať za jej behu alebo editáciou príslušného konfiguračného súboru.

### 3.3 Snímanie

Získavanie informácií o okolí robota zabezpečujú *ultrazvukové senzory*. Ultrazvukové senzory (*sonáre*) sú senzory na meranie vzdialeností (*proximity sensors*), ktoré určujú relatívnu vzdialenosť objektu prostredia od senzora. Ich princíp spočíva vo vyslaní zvukového signálu a meraniu času, kým sa od objektu odrazený zvukový signál vráti späť k senzoru. [16]

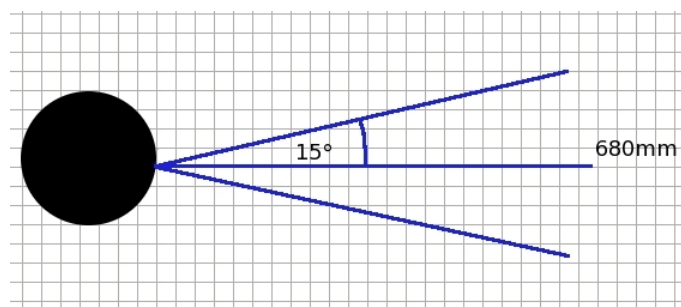
Robotna4ka je vybavená piatimi sonármi modelu *SRF08* 3.4.



Obr. 3.4: Ultrazvukový senzor SRF08

Ten, podľa jeho technickej špecifikácie [1], dokáže merať vzdialenosti od 30mm do 6000mm. Nakoľko sú senzory umiestnené vo výške iba 70mm, zvukový signál sa vo vzdialenosti približne 680mm takmer vo všetkých prípadoch odráža od povrchu stola hoci v tomto okolí nie je žiadna prekážka. To znamená, že maximálnou merateľnou vzdialenosťou prekážky od robota bude v našich experimentov práve hodnota 680mm. Uhol *beam aperture*, ktorý musí zvierat prekážka s osou senzora, aby bola viditeľná, závisí od jej vzdialenosti. Pre zjednodušenie sme predpokladali ich nezávislosť a defaultnú hodnotu sme zvolili na  $15^\circ$  rovnako v oboch smeroch od osi senzora.

Senzory sú umiestnené v polkruhu po obvode robotnačky. Jeden senzor je na čele robotnačky, zvyšné 4 sú od neho umiestnené symetricky v oboch smeroch,



Obr. 3.5: Grafický model senzora

pričom ich spojnice so stredom robotnačky zvierajú uhly  $45^\circ$  a  $90^\circ$ .



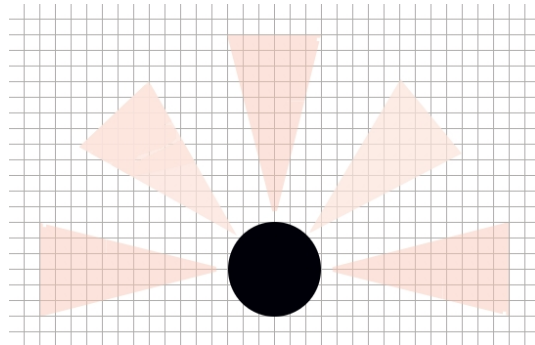
Obr. 3.6: Rozmiestnenie senzorov

Ak uvažujeme konštantnu apertúru  $15^\circ$  a odklon susedných senzorov  $45^\circ$  dostávame z toho záver, že merania senzorov sú nezávislé. Tento záver je iba teoretický. V skutočnosti by bolo možné nájsť miesto, v ktorom umiestnená prekážka by bola zachytená oboma susednými senzormi.

Aplikácia komunikujúca s robotnačkou dostáva dáta zo senzorov vždy v podobe päťice

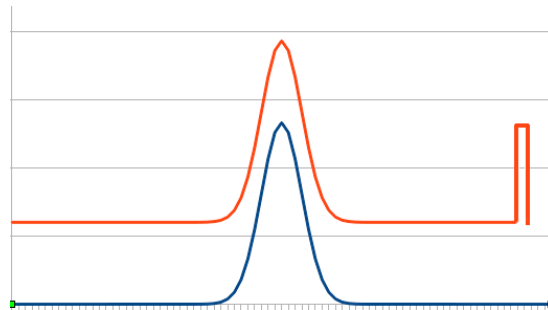
$$z = (z_0, z_1, z_2, z_3, z_4) \quad (3.3)$$

kde  $z_2$  je hodnota v centimetroch z čelného senzora,  $z_0$  je hodnota zo senzora otočeného o  $90^\circ$  v zápornom smere vzhľadom na čelný senzor, atď. Použité senzory sa ukázali byť pomerne presné, ak bola prekážka umiestnená kolmo na os senzora. Problémom však bol jav specular reflection. Ak sa robotnačka pohybovala pozdĺž steny, senzor, ktorého os s ňou zvierala uhol  $45^\circ$ , ju nevidel. Tento nedostatok sme sa pri lokalizácii snažili dorovnať vhodným nastavením parametrov.



Obr. 3.7: Grafické znázornenie rozmiestnenia senzorov

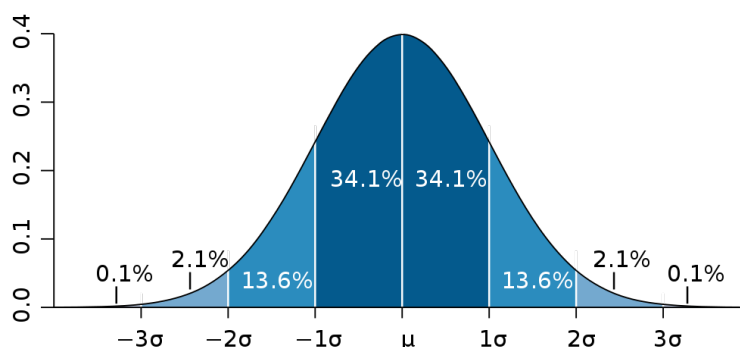
Pri implementácii modelu snímania  $p(z | x, m)$  sme vychádzali z algoritmu *Beam measurement model* 7. Ten je zložený zo štyroch zložiek, z ktorých každá prispieva svojou váhou. V poradí, v akom boli zložky opísané v kapitole 2.4.1, druhá zložka vyjadrená exponenciálnou distribúciou reprezentuje chyby, ktorých príčinou sú objekty v okolí neobsiahnuté v mape. Mapa statického prostredia však obsahuje všetky objekty a keďže naše prostredie je statické, mohli sme túto zložku zanedbať. Tvar výslednej distribúcie zloženej iba z troch zložiek je znázornený na obrázku 3.8 červenou krivkou.



Obr. 3.8: Measurement model

Prvým parametrom tohto modelu je štandardná odchýlka  $\sigma$  gaussovskej zložky distribúcie. Z niekoľkých párov nameraných a skutočných vzdialeností sme určili jej hodnotu  $\sigma = 20mm$ . To znamená, že prehlasujeme, že 68,2 % meraní nie je od skutočnej hodnoty odlišných o viac ako 20mm.

Po odhýlke gaussovskej zložky sú ďalšími parametrami modelu váhy jednotlivých zložiek. Na úspešnosť modelu mal veľký vplyv pomer váhy gaussovskej zložky  $w_{quass}$  a váhy uniformnej náhodnej zložky  $w_{uni}$ . Väčšina prác so zameraním podobným nášmu sa venuje laserovým senzorom. Ich spoľahlivosť je



Obr. 3.9: Diagram štandardnej odchýlky normálneho rozdelenia

s ultrazvukovými neporovnateľne vyššia, náhodné chyby senzora málo časté a preto váha uniformnej distribúcie malá. S našimi ultrazvukovými senzormi kvôli nežiadúcemu javu specular reflection sme dosiahli uspokojivé výsledky až keď sme náhodnu zložku dostatočne zosilnili.

Pre odskúšanie funkčnosti modelu snímania sme spravili zopár testov, ktorých hlavnou myšlienkou bolo skúmať, či pri fixnej päťici vymyslených nameraných dát, model snímania ohodnotí vzorky tak, že poradie vzoriek zoradených podľa nových hodnôt váh bude zodpovedať naším očakávaniam. Jednu inštitúcia tohto pokusu je nasledovná.

Prepokladajme, že robotníčka namerala senzorové dáta

$$z = (200, 200, 200, 200, 200) \quad (3.4)$$

Majme päť vzoriek  $\{P1, P2, P3, P4, P5\}$ , na tých pozíciách, že v závislosti od mapy, by päťica ideálnych senzorov mala namerať postupne na pozíciách jednotlivých vzoriek hodnoty:

$$z1 = (210, 210, 210, 210, 210) \quad (3.5)$$

$$z2 = (210, 210, 210, 220, 220) \quad (3.6)$$

$$z3 = (220, 220, 220, 220, 220) \quad (3.7)$$

$$z4 = (220, 220, 220, 240, 240) \quad (3.8)$$

$$z5 = (220, 220, 220, 400, 400) \quad (3.9)$$

Vidíme, že hodnoty sú skonštruované tak, aby prvá vzorka bola na pozícii, v ktorej sa reálne a ideálne meranie líšia v každej hodnote o polovicu štandardnej

odchýlky modelu. Meranie v druhej vzorke sa od reálneho odlišuje v dvoch hodnotách presne o odchýlku a v troch hodnotách o jej polovicu. Pri tretej vzorke je každá hodnota vzdialená od ideálnej presne o odchýlku, pri štvrtej vzorke sú dve merania odlišné o jej dvojnásobok, posledné má dve merania odlišné o päťnásobok odchýlky. Výstupy algoritmu, t.j. váhy jednotlivých vzoriek sumarizuje tabuľka 3.10. Ak by sme resamplovali vzorky po jednom kroku, percentuálne zastúpenie v novej množine by približne také, aké ukazuje posledný riadok tabuľky. Resamplovanie zvyčajne nenastáva po každom kroku. Váhy vzoriek sa preto v ďalších krokoch môžu zmeniť. Ich hodnoty sa však po každom kroku medzi sebou násobia bez pridávania nejakého zabúdajúceho koeficientu, preto sú všetky merania medzi dvoma resamplovaniami rovnocenné.

	P1		P2		P3		P4		P5	
20	0.016802	20	0.016802	40	0.014049	40	0.014049	40	0.014049	
20	0.016802	20	0.016802	40	0.014049	40	0.014049	40	0.014049	
20	0.016802	20	0.016802	40	0.014049	40	0.014049	40	0.014049	
20	0.016802	40	0.014049	40	0.014049	80	0.009350	200	0.008000	
20	0.016802	40	0.014049	40	0.014049	80	0.009350	200	0.008000	
	41.29%		28.87%		16.88%		7.48%		5.47%	

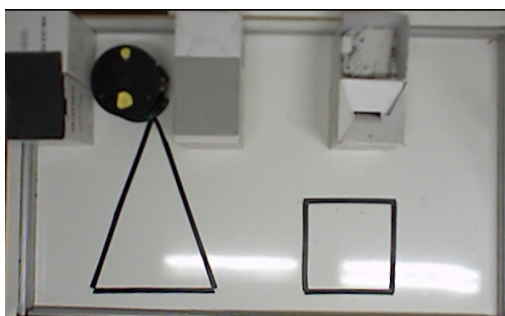
Obr. 3.10: Váhy vzoriek

Po detailnom skúmaní hodnôt váh, sme tento predchádzajúci test vykonali vo väčšom prevedení. Vytvorili sme 5000 vzoriek na náhodných pozíciách a s náhodným natočením. Robotnačku sme umiestnili na ľubovoľné miesto v prostredí a počas pokusu sme s ňou nehýbali. Dáta zo senzorov sme v každom kroku updatovali a na základe nich upravili váhy vzoriek. Po každých 4 krokoch sme množinu vzoriek resamplovali. Cieľom bolo ukázať, že náš model snímania a resamplovanie pozbavia množinu od málo vieryhodných vzoriek.

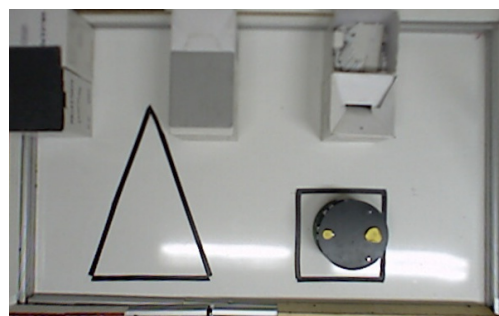
Za prvú testovaciu pozíciu robotnačky sme zvolili úzku "chodbu", ktorých bolo v prostredí 3 a boli rovnaké. Po 12 krokoch a 3 resamplovaních ostali nažive hlavne vzorky vyskytujúce sa v chodbách, čo bol pre nás uspokojivý výsledok. Druhykrát sme robotnačku umiestnili vo voľnom priestore. Po dvoch resamplovaníach zanikli vzorky v chodbách, čo nám tiež stačilo. Niektoré chronologicky zoradené etapy tohto testu znázorňuje kolekcia obrázkov 3.11 až 3.16.

### 3.4 Resamplovanie

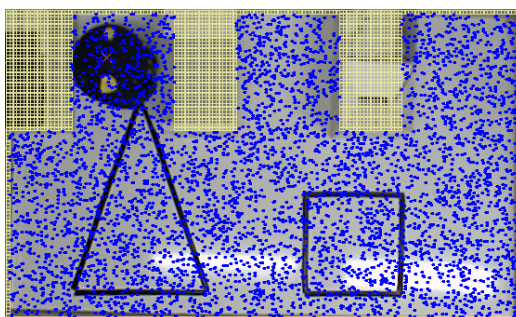
Pre resamplovanie vzoriek sme v aplikácii implementovali algoritmy *Select with replacement* 3 aj *Select with replacement in linear time* 4. Časová zložitosť



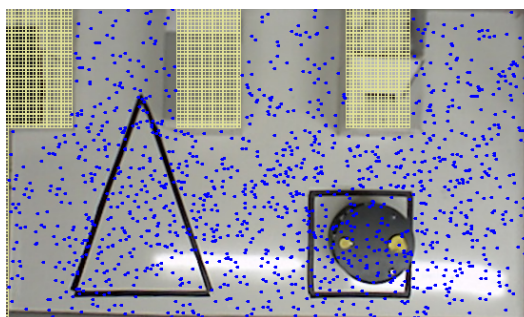
Obr. 3.11: Umiestnenie robota - A



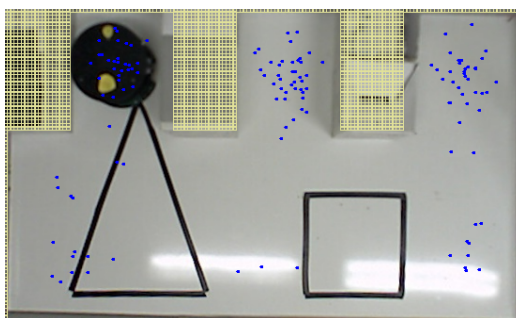
Obr. 3.12: Umiestnenie robota - B



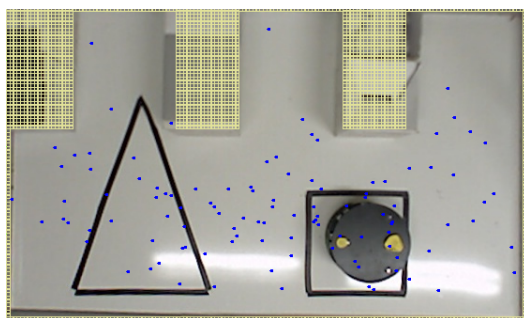
Obr. 3.13: Survival of the fittest - A1



Obr. 3.14: Survival of the fittest - B1



Obr. 3.15: Survival of the fittest - A2



Obr. 3.16: Survival of the fittest - B2

prvého je v dôsledku triedenia vygenerovaných náhodných čísel  $O(N \log(N))$ . V druhom algoritme je triedenie nahradené sumovaním záporných logaritmov vygenerovaných náhodných čísel. Hrubá časova analýza zaraduje tento algoritmus do triedy  $O(N)$ . Obsahuje ale oproti prvému algoritmu navyše jeden prechod poľom náhodných čísel, v ktorom nastáva delenie desatinných čísel a časovo náročné by mohlo byť aj vytváranie logaritmov zo všetkých vygenerovaných čísel. Aby sme sa presvedčili, ktorá z implementácií bude v našich podmien-



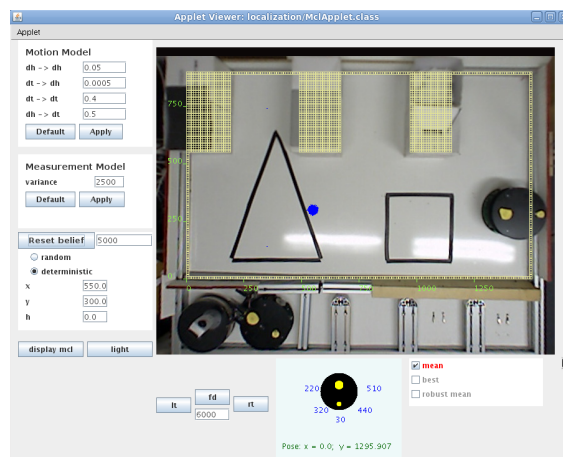
kach svižnejšia, zaznamenávali sme čas behu oboch resamplovaích procedúr pre rôzne hodnoty mohutnosti množiny vzoriek. Výsledky sú uvedené v tabuľke 3.4. Potvrdili, čo bolo očakávané na základe hrubej časovej analýzy.

Size of set	Running time [ms]	
	Select w. r.	Select w. r. in linear time
1000	3	2
10000	17	7
100000	62	41
500000	167	93

Tabuľka 3.2: Average running time of resampling algorithms

### 3.5 Monte Carlo Localization

Monte Carlo Localization je algoritmus pre lokalizáciu založený na Particle filteri. V prípade, že implementácie smplovacieho modelu pohybu, ľubovoľného modelu snímania a resamplovacej procedúry sú hotové, je jeho implementácia priamočiarym prepísaním pseudokódu *Particle filter* 5 do programovacieho jazyka.



Obr. 3.17: MCL Applet

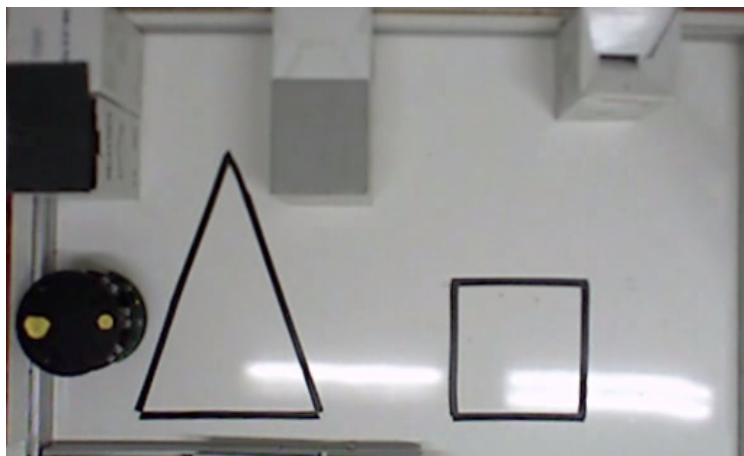
Aby bolo možné experiment lokalizácie pohodlne sledovať, rozhodli sme sa vizualizovať množinu vzoriek nad skutočným obrazom z kamery laboratória. Prezentačnú vrstvu celej aplikácie tvorí Java Applet 3.17. Je dostupný pre



každého na adrese:

<http://virtuallab.kar.elf.stuba.sk/~risko/probrob/localization>

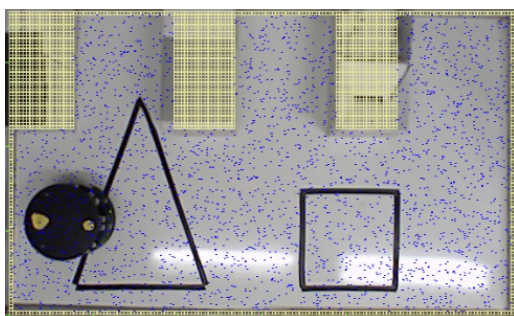
Po nastavení parametrov modelov a spôsobe inicializácie vzoriek je možné ovládať pohyb robotničky. Robotnička vykonaná pohyb, ak jej v tom nič nebráni. Ak je internetové spojenie dostatočné, obraz v pozadí vzoriek sa plynule mení. Applet tiež graficky znázorňuje získané odometrické a senzorové dáta, ktoré prichádzajú po vykonaní každého pohybu. Experiment tak môže prevádzať hocičo. Obmedzený je však iba na prostredie laboratória, v ktorom nemá možnosť meniť rozloženie prekážok. Jeden z našich experimentov, ktorý sme s týmto appletom vykonali, mal nasledujúci priebeh a výsledky. Jeho cieľom bolo ukázať že naše implementácie zvládajú globálnu lokalizáciu a kidnapped robot problem v prostredí, ktorého skutočný vzhľad je na obrázku 3.27.



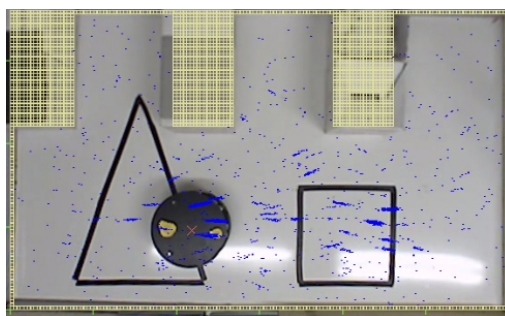
Obr. 3.18: Prostredie pre testovanie lokalizácie

Pri globálnej lokalizácii je belief robota o svojej pozícii reprezentovaný uniformnou distribúciou nad množinou všetkých možných pozícií. V jeho vzorkovej reprezentácii to znamená inicializáciu každej vzorky na náhodnú pozíciu 3.19. Pohyby robota sme sa rozhodli ovládať ručne, hoci bolo možné prenechať ich aj na náhodne riadenie robota, snažiaceho sa iba nenáburyť čelne do žiadneho objektu. Update vzoriek bol vykonávaný po každom kroku spracovaním odometrických a senzorových dát. Počet krokov medzi dvoma resamplovaniami sme v tomto experimente nastavili fixne na hodnotu 4. Vývoj distribúcií vzoriek po približne každých desať krokoch znázorňujú obrázky 3.20, 3.21, 3.22.

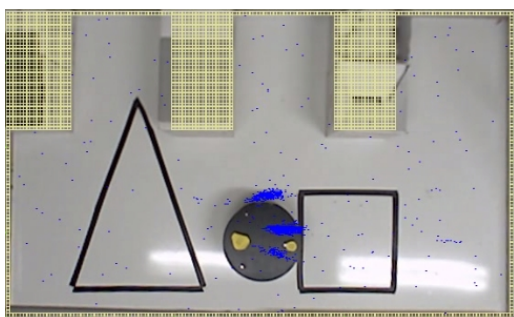
Na obrázku 3.22 je vidieť, že distribúcia vzoriek dostatočne presne repre-



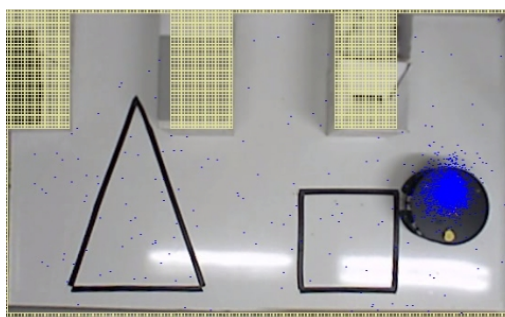
Obr. 3.19: Inicializačná distribúcia vzoriek



Obr. 3.20: Distribúcia vzoriek 1



Obr. 3.21: Distribúcia vzoriek 2

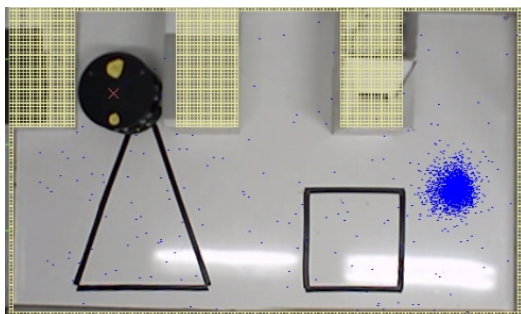


Obr. 3.22: Distribúcia vzoriek 3

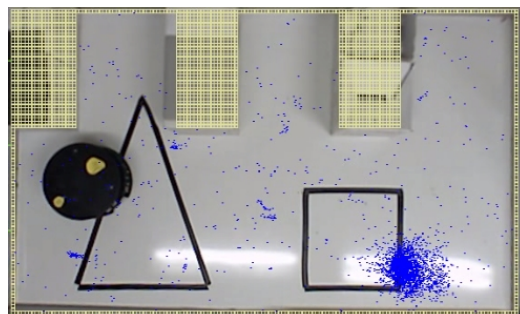
zentuje pozíciu robota. Hoci sa zhluk vzoriek zdá byť príliš rozťahnutý, je potrebné si uvedomiť, že v jeho centre je veľa vzoriek navzájom prekrytých. Váňovaný priemer vzoriek to potvrdil a globálnu lokalizáciu sme brali ako úspešne ukončenú.

Nasledovalo rúčné premiestnenie robota na inú pozíciu v prostredí. Aby bol Monte Carlo lokalizačný algoritmus schopný sa s týmto prípadom vysporiadať, bolo štandardnú schému Particle filtra rozšíriť o pridávanie malého počtu náhodných vzoriek po každom resamplovaní. Bez nich by zhluk vzoriek sústredených okolo pozície robota pred premiestnením nebolo možné roztrúsiť, keďže resamplovanie by stále vyberalo do novej množiny iba vzorky zo zhuku. V našej implementácii bolo pridávanie náhodných vzoriek zahrnuté. Ich relatívny počet vzhľadom na mohutnosť základnej množiny vzoriek je možné prenastaviť. V tomto experimente bola jeho hodnota 1%. Po niekoľkých krokoch sa zhluk vzoriek roztrúsil na rôzne pozície a lokalizácia akoby bežala od začiatku. Po dostatočne veľa krokoch sa vytvoril nový zhluk okolo skutočnej pozície a po-

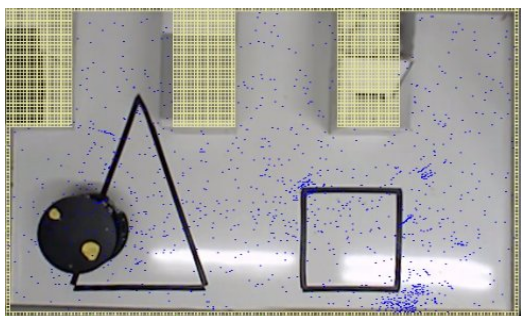
hyboval sa podľa skutočnej pozície robota, čo znamenalo úspech experimentu. Jeho priebeh zachytávajú obrázky 3.23, 3.24, 3.25, 3.26.



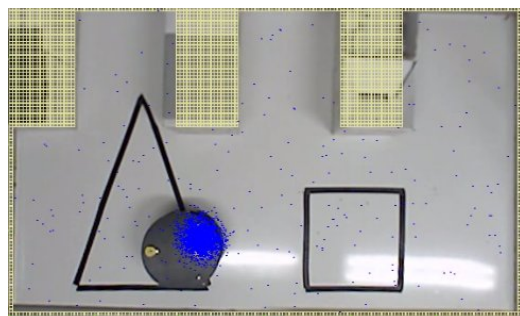
Obr. 3.23: Vzorky po prenesení 1



Obr. 3.24: Vzorky po prenesení 2



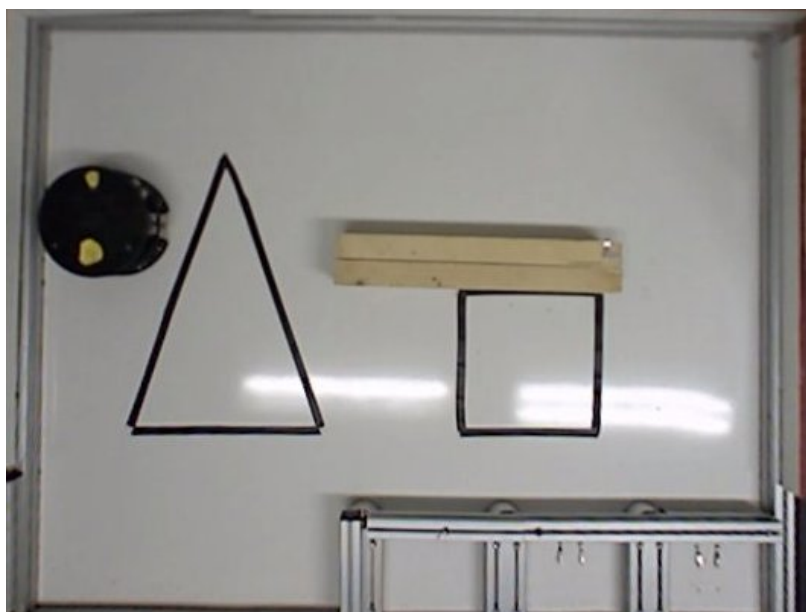
Obr. 3.25: Vzorky po prenesení 3



Obr. 3.26: Vzorky po prenesení 4

### 3.6 FastSLAM

Druhá skupina experimentov, ktorým sme sa venovali súvisela s mapovaním a súčasťou lokalizáciou robota. Prostredie, ktoré sme sa rozhodli robotnačkou zmapovať, je znázornené na obrázku. Vytvorili sme si dataset (obahujúci odometrické a senzorové dáta) z jednej náhodnej prechádzky robota týmto prostredím.



Obr. 3.27: Prostredie pre mapovacie experimenty

Pri implementácii sme vychádzali z úvah popísaných v kapitole 2.6.3. Vzor-  
kami sme reprezentovali trajektórie robota a každá vzorka obsahovala vlastnú  
response gridmapu vybudovanú na základe trajektórie robota a zosnímaných  
dát. Nakoľko nebolo naše prostredie extrémne rozsiahle, pamäťové nároky veľkého  
počtu gridmáp boli zvládnuteľné, a preto nebolo nutné zaoberať sa nejakou  
technikou sharovania gridmáp alebo jej častí medzi viacerými vzorkami. Model  
pohybu sme použili rovnaký a s rovnakými parametrami ako pri lokalizácii. In-  
verzný model snímania, ktorý riadi tvorbu gridmapy z nameraných dát a pozícií,  
sme implementovali postupne všetkými troma spôsobmi spomenutými v kapitole  
2.6.2.1.

Prvý spôsob, ktorý všetkým bunkám apertúry senzora vo vzdialenosti od  
senzora menšej ako je nameraná hodnota priraduje jednu konštantnú hodnotu a  
bunkám vo vzdialenosti rovnakej ako je nameraná hodnota inú konštantnú hod-

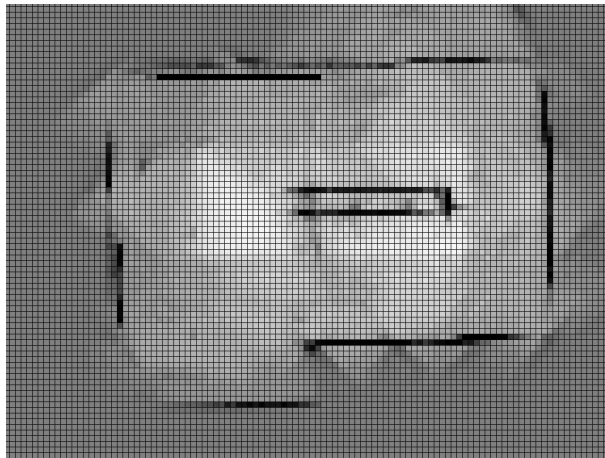


Obr. 3.28: Mapa A

notu, nevedol k uspokojivým výsledkom. Jedna z množstva máp, ktoré počas experimentu vznikli, je znázornená na obrázku 3.28. Vidíme, že dlhé krajné steny sú na niektorých miestach rozbité. Príčinou toho je práve jav specular reflection. Ak sa robot pohybal popri týchto stenách stále bol jeden jeho senzor v takej pozícii, že jeho vyslané impulzy na stenu sa k nemu nevrátili.

Zlepšenie sme očakávali od druhej metódy, ktorá bunkám v spmínaných regiónoch nepriraduje konštanty, ale rôzne hodnoty závislé od pozície bunky v apertúre. K zlepšeniu ale nedošlo. Hlavný problém, specular reflection, ostával nevyriešený.

Výrazné zlepšenie prišlo zmenou klasických gridmáp na response gridmapy. Pre ich aktualizovanie sme implementovali algoritmus, tak ako sme ho odvodili v závere kapitoly 2.6.2.1. Bunky sme rozdelili do 4 smerov, čo znamenalo 4-násobne viac potrebnej pamäte na uchovávanie gridmáp. Jedna z máp je znázornená na obrázku 3.29. Je na nej možné vidieť pomerne celistvé obrysy stien.



Obr. 3.29: Mapa B

### 3.7 Popis komponentov aplikácie

Z niekoľkých programovacích jazykoch, ku ktorým existujú softvérové knižnice umožňujúca ovládanie robotničky, sme sa rozhodli naprogramovať aplikáciu v Jave. Stručný popis jej hlavných modulov je nasledovný.

*Jadro* aplikácie je nezávislé od robotničky, či prostredia. Tvorí ho triedy balíkov

- `particlebase`

Obsahuje definície základných dátových štruktúr a iterfejsov potrebných pre implementáciu partiklového filtra 2.

- `Pose`
- `Particle`
- `MapManagerInterface`
- `MotionModelInterface`
- `MeasurementModelInterface`
- `ResamplerInterface`

- `mcl`

Obsahuje implementáciu algoritmu Monte Carlo Localization 8, pričom vyžaduje štruktúry a implemntácie interfejsov prvého balíka.

- `fastslam`

Obsahuje implementáciu algoritmu FastSLAM, pričom vyžaduje štruktúry a implementácie interfejsov prvého balíka.

Druhá časť aplikácie je jej *grafický interfejs* vo forme appletu. Umožňuje ovládať robotnačku, prenasťavovať parametre modelov a mapu prostredia. Priebeh algoritmov vizualizuje nad skutočným obrazom z kamery laboratória. Ten sa režešuje v nastaviteľných intervaloch. Použiť ho pre iných robotov alebo iné prostredia je možné iba prepísaním a prekompilovaním tried

- `RobotManager`

Zabezpečuje komunikáciu s robotom. Poskytuje informácie o pohybe robota a výsledkoch jeho meraní.

- `LabImageManager`

Zabezpečuje zobrazovanie obrazu laboratória.

- `Config`

Obsahuje rôzne konfiguračné parametre ako rozmery prostredia, dĺžku kroku robota a iné.

## Kapitola 4

### Záver

V práci sme od popísali niektoré z metód pravdepodobnostnej robotiky. Začali sme zadefinovaním základných pojmov a cez všeobecné schémy algoritmov sme sa dostali až k implemenciám Particle filtra schopným riešiť lokalizáciu a mapovanie. V praktickej časti sme vytvorili Java Applet umožňujúci každému ovládať robotičku, sledovať dianie v laboratóriu prostredníctvom plynulého obrazu z kamery, experimentovať s parametrami modelov lokalizačného algoritmu Monte Carlo a sledovať grafickú reprezentáciu belief pozície nad skutočným obrazom. Pre problém SLAMu s použitím ultrazvukových senzorov sme si odvodili pravidlá pre aktualizáciu zovšeobecnených gridmáp. Experimentami sme otestovali viacero metód tvorby gridmáp.





# Zoznam obrázkov

2.1	Beam range finder model . . . . .	15
2.2	Grafický model problému loklizácie . . . . .	17
2.3	Inverse Measurement Model A1 . . . . .	23
2.4	Inverse Measurement Model A2 . . . . .	23
2.5	Iverse measurement model B . . . . .	24
2.6	Specular reflection . . . . .	24
3.1	Robotnačka . . . . .	31
3.2	Virtual Robotic Lab . . . . .	32
3.3	Chyby pohybu . . . . .	34
3.4	Ultrazvukový senzor SRF08 . . . . .	35
3.5	Grafický model senzora . . . . .	36
3.6	Rozmiestnenie senzorov . . . . .	36
3.7	Grafické znázornenie rozmiestnenia senzorov . . . . .	37
3.8	Mesasurement model . . . . .	37
3.9	Diagram štandardnej odchýlky normálneho rozdelenia . . . . .	38
3.10	Váhy vzoriek . . . . .	39
3.11	Umiestnenie robota - A . . . . .	40
3.12	Umiestnenie robota - B . . . . .	40
3.13	Survival of the fittest - A1 . . . . .	40
3.14	Survival of the fittest - B1 . . . . .	40
3.15	Survival of the fittest - A2 . . . . .	40
3.16	Survival of the fittest - B2 . . . . .	40
3.17	MCL Applet . . . . .	41
3.18	Prostredie pre testovanie lokalizácie . . . . .	42
3.19	Inicializačná distribúcia vzoriek . . . . .	43
3.20	Distribúcia vzoriek 1 . . . . .	43

3.21	Distribúcia vzoriek 2 . . . . .	43
3.22	Distribúcia vzoriek 3 . . . . .	43
3.23	Vzorky po prenesení 1 . . . . .	44
3.24	Vzorky po prenesení 2 . . . . .	44
3.25	Vzorky po prenesení 3 . . . . .	44
3.26	Vzorky po prenesení 4 . . . . .	44
3.27	Prostredie pre mapovacie experimenty . . . . .	45
3.28	Mapa A . . . . .	46
3.29	Mapa B . . . . .	47

# Literatúra

- [1] *SRF08 Ultra sonic range finder*. Technical Specification.
- [2] James Carpenter, Peter Clifford, and Paul Fearnhead. An improved particle filter for non-linear problems. pages 2–7, 2004.
- [3] L. S. Dinnouti, A. C. Victorino, and G. F. Silveira. Simultaneous localization and map building by a mobile robot using sonar sensors. In *Proc. International Congress of Mechanical Engineering*, Sao Paulo/SP, Brazil, 2003. Article 1996.
- [4] Hugh Durrant-Whyte and Tim Bailey. Simultaneous localisation and mapping (slam): Part i the essential algorithms. *IEEE ROBOTICS AND AUTOMATION MAGAZINE*, 2, 2006.
- [5] Austin Eliazar and Ronald Parr. Dp-slam: Fast, robust simultaneous localization and mapping without predetermined landmarks, 2003.
- [6] Dieter Fox, Wolfram Burgard, and Frank Dellaert Sebastian. Monte carlo localization: Efficient position estimation for mobile robots. In *In Proc. of the National Conference on Artificial Intelligence (AAAI)*, pages 343–349, 1999.
- [7] Giorgio Grisetti, Gian Diego Tipaldi, Cyrill Stachniss, Wolfram Burgard, and Daniele Nardi. Fast and accurate slam with rao-blackwellized particle filters. *Robotics and Autonomous Systems*, 55(1):30–38, 2007.
- [8] Andrew Howard and Les Kitchen. Generating sonar maps in highly specular environments.
- [9] P. Jensfelt, O. Wijk, D. J. Austin, M. Andersson, and Patric Jensfelt. Experiments on augmenting condensation for mobile robot localization. In *In*

- Proceedings of the IEEE International Conference on Robotics and Automation (ICRA)*, pages 2518–2524, 2000.
- [10] Adam Milstein. Occupancy grid maps for localization and mapping, 2008.
- [11] Michael Montemerlo, Sebastian Thrun, Daphne Koller, and Ben Wegbreit. Fastslam: A factored solution to the simultaneous localization and mapping problem. In *In Proceedings of the AAAI National Conference on Artificial Intelligence*, pages 593–598. AAAI, 2002.
- [12] H. P. Moravec and A. Elfes. High resolution maps from wide angle sonar. In *1985 IEEE International Conference on Robotics and Automation*, pages 116–121, St. Louis, Missouri, March 1985. IEEE Computer Society Press.
- [13] Hans P. Moravec. Sensor fusion in certainty grids for mobile robots. *AI Magazine*, 9(2):61–74, 1988.
- [14] Rudy Negenborn. Utrecht university robot localization and kalman filters, 2003.
- [15] Pavel Petrovič, Andrej Lúčný, Richard Balogh, and Dušan Ďurina. Robotické laboratórium so vzdialeným prístupom. In *8th International Conference on Automation and Robotics in Theory and Practice (Robtep)*, volume 2006, pages 389–394. Sjf TU Košice, 2006.
- [16] Md. Jayedur Rashid. Parameterized sensor model and handling specular reflections for robot map building, 2006.
- [17] Ioannis M. Rekleitis. A particle filter tutorial for mobile robot localization. Technical Report TR-CIM-04-02, Centre for Intelligent Machines, McGill University, 3480 University St., Montreal, Québec, CANADA H3A 2A7, 2004.
- [18] Christof Schröter, Hans joachim Böhme, and Horst michael Gross. Memory-efficient gridmaps in rao-blackwellized particle filters for slam using sonar range sensors.
- [19] Dan Simon. Kalman filtering, 2001.
- [20] Sebastian Thrun, Wolfram Burgard, and Dieter Fox. *Probabilistic Robotics (Intelligent Robotics and Autonomous Agents)*. The MIT Press, 2005.
- [21] Greg Welch and Gary Bishop. An introduction to the kalman filter, 1995.

- [22] Dušan Ďurina, Pavel Petrovič, and Richard Balogh. Robotnačka - the drawing robot. *Acta Mechanica Slovaca*, 10(2-A):113–116, 2006.